

Stato limite d'instabilità

Daniele Ferretti

Dipartimento di Ingegneria Civile, dell'Ambiente, del Territorio e Architettura

Università degli Studi di Parma

Parco Area delle Scienze, 181/A 43100 Parma

Tel. 0521-905943 Fax 0521-905924

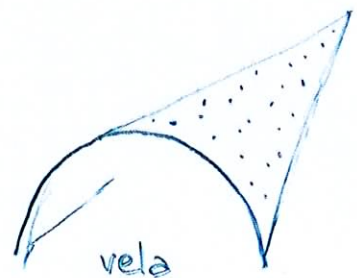
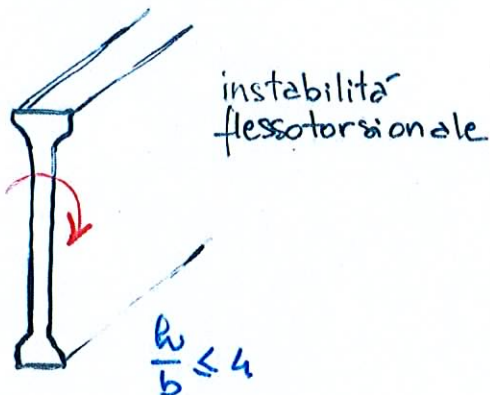
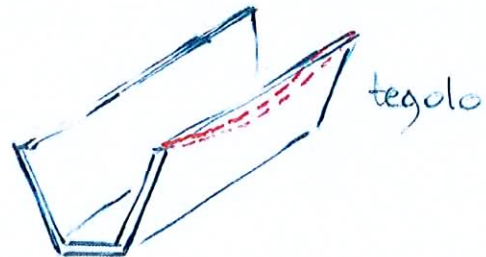
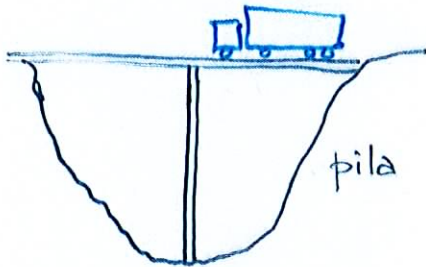
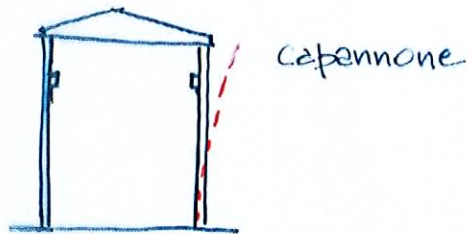
e-mail: daniele.ferretti@unipr.it

INSTABILITA' NEL CA.

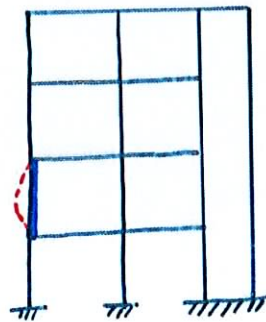
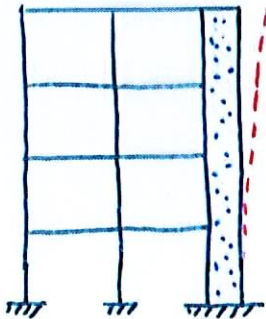
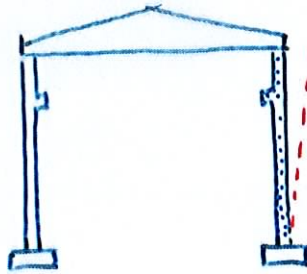
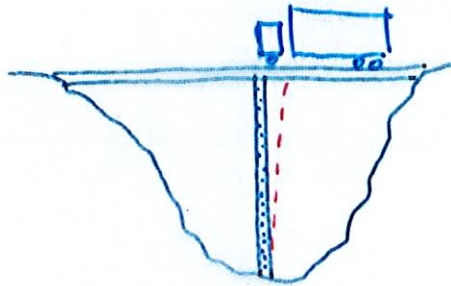


$$\frac{h}{b} \approx 10$$

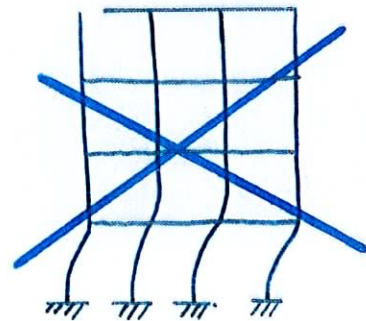
PILASTRO



COLONNE ISOLATE



*instabilità locale
del telaio*

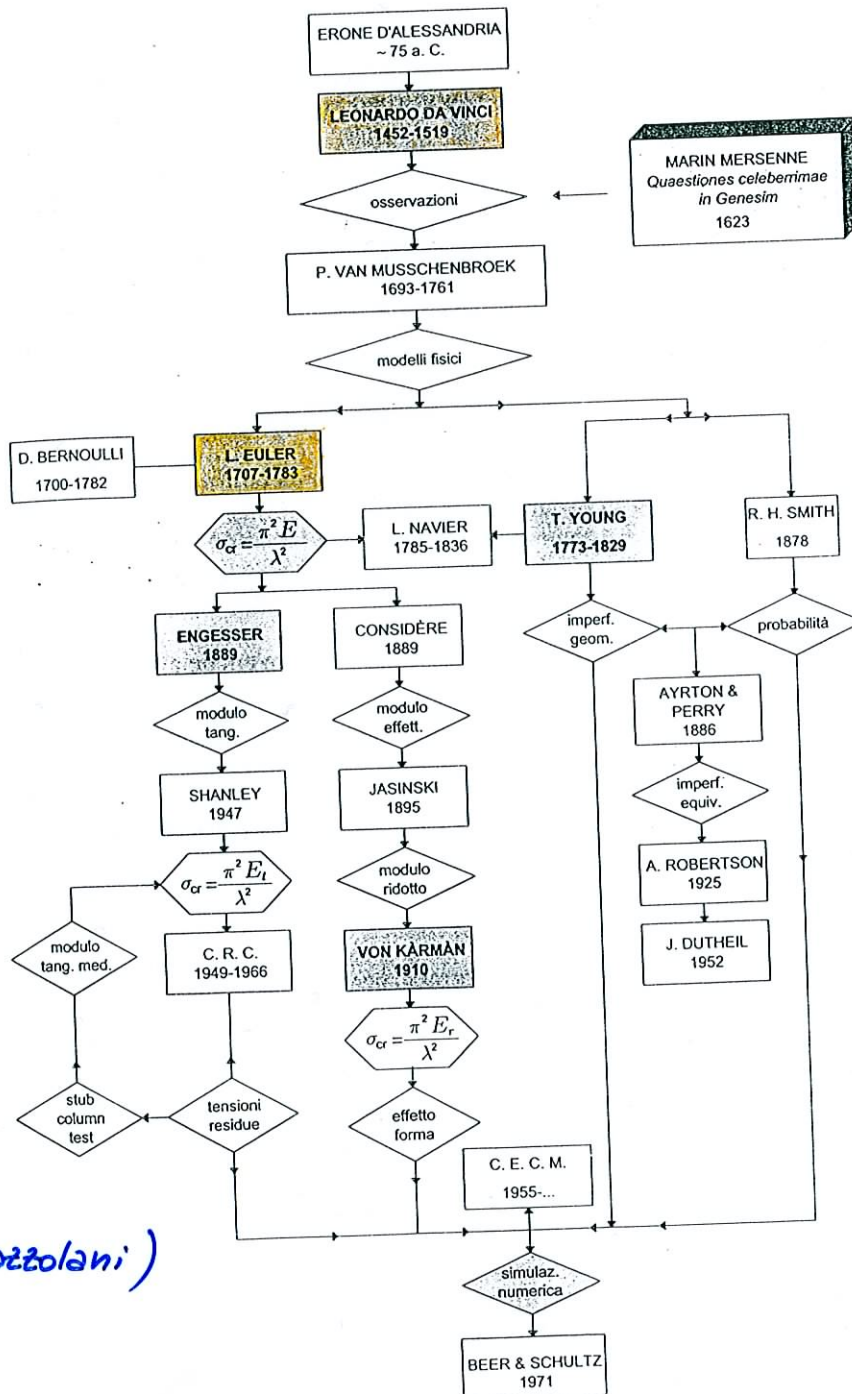


*instabilità
globale*

STABILITA' STRUTTURALE : SVILUPPO STORICO

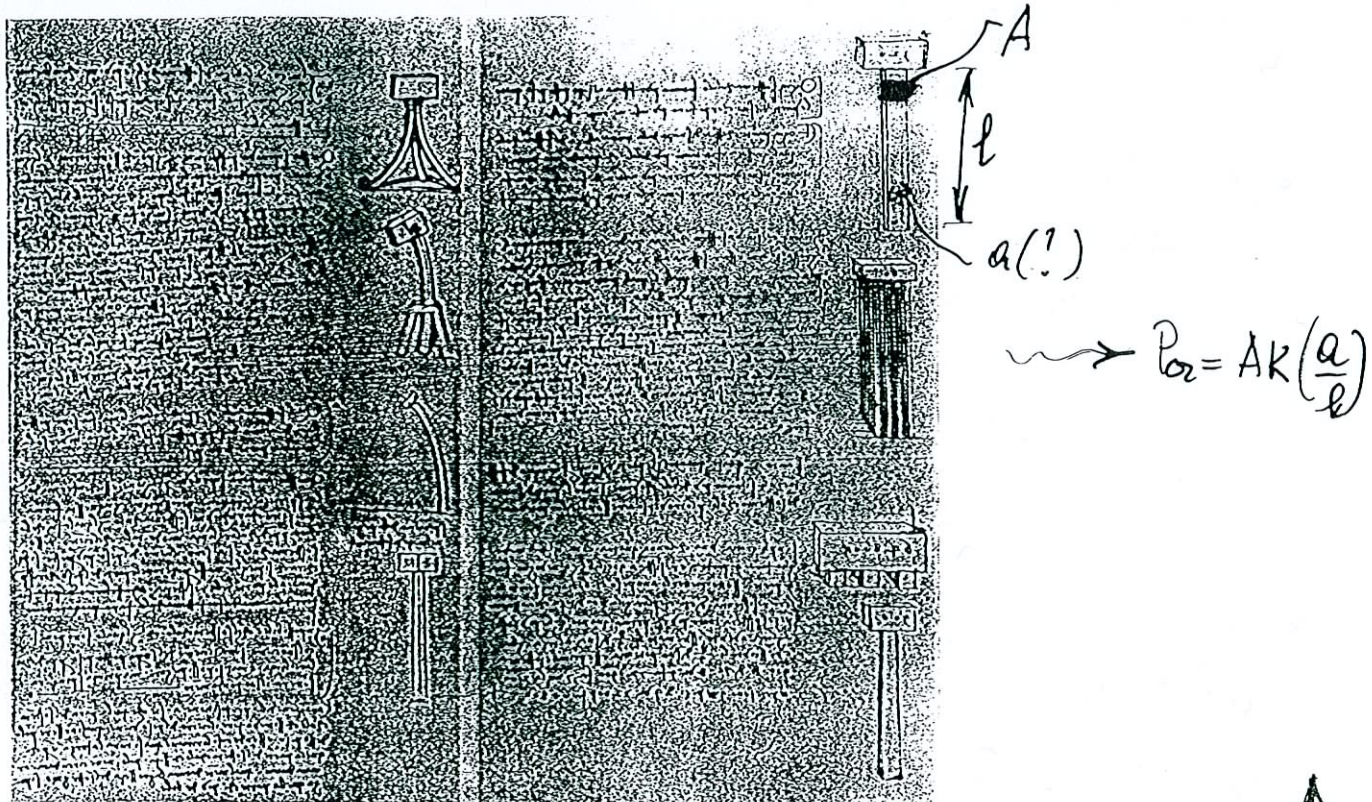


Figura 2.2 Un celebre e particolare esempio del fenomeno dell'instabilità (tratto da [3]). (Salvadori)



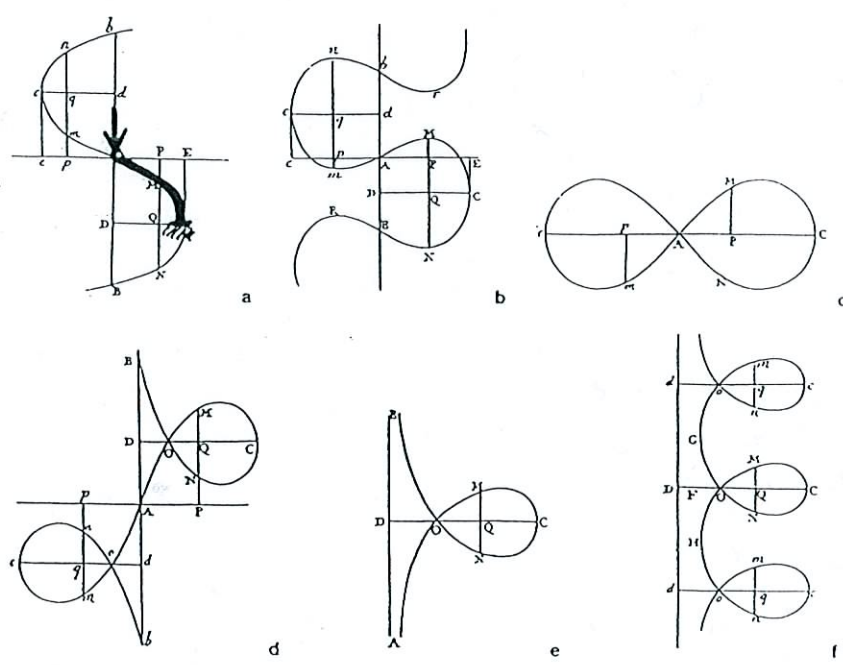
(Ballio, Mazzolani)

STABILITA' STRUTTURALE : ALCUNI STUDI



Leonardo da Vinci (1451-1519) - Codice Atlantico - Foglio 152 r.b.

M. Merseune - "Quaestiones celeberrimae in Genesim" (1623)



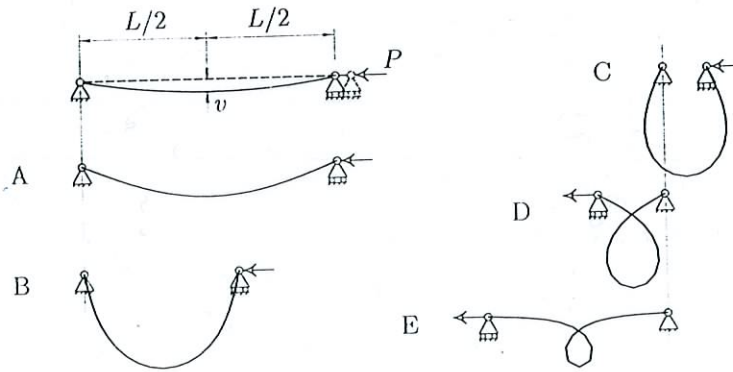
$$P_{cr} = AK \left(\frac{a}{l} \right)^2$$

a = raggio giratore
d'inertia

Eulero (1707-1783) - Methodus inveniendi lineas curvas maximi
minimive proprietate gaudentes (1744)

STABILITA' STRUTTURALE : ALCUNI STUDI RECENTI

Analisi agli elementi finiti



carico critico
esterno

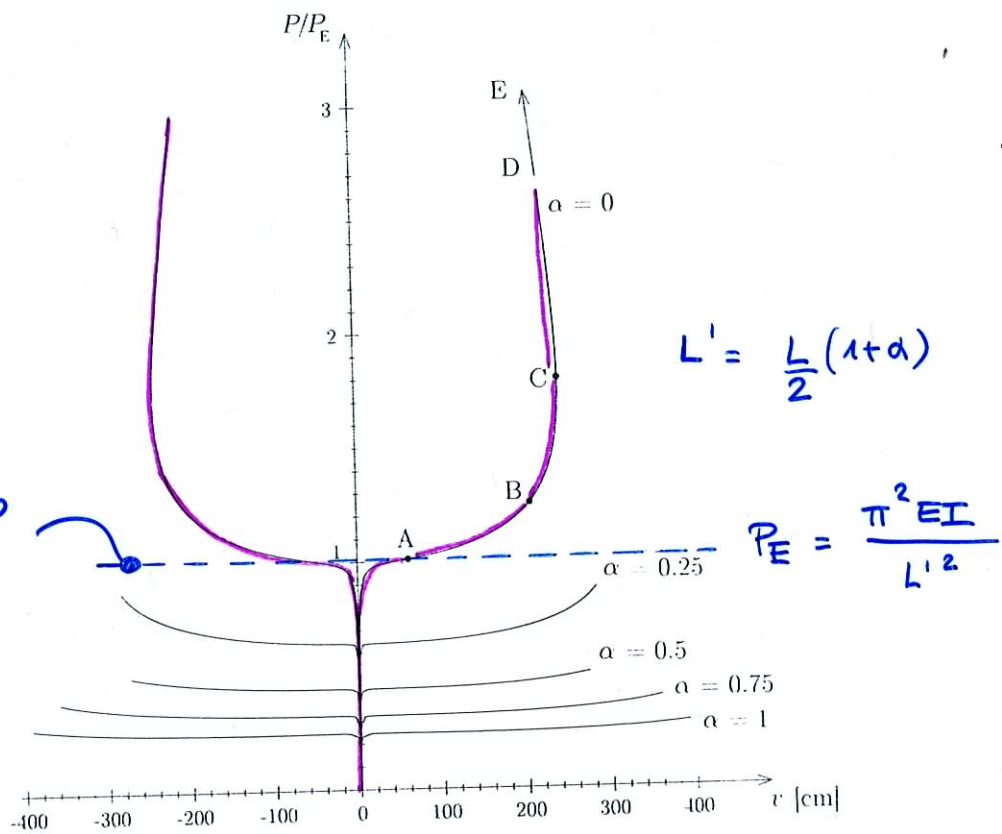
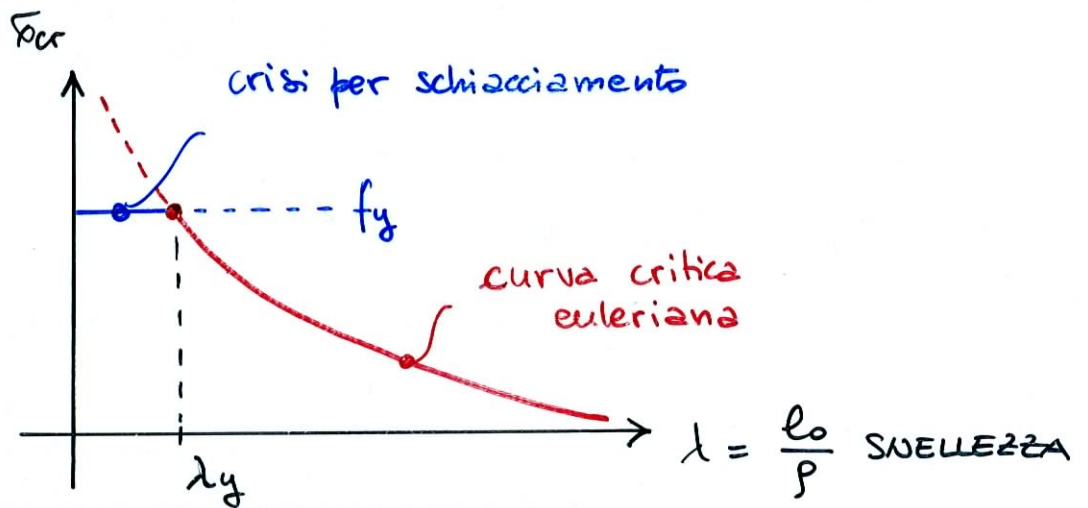


Figura 6.5 I percorsi di equilibrio per diramazione stabile ed alcune conseguenti deformate strutturali, tutti ricavati attraverso l'elaborazione numerica eseguita.

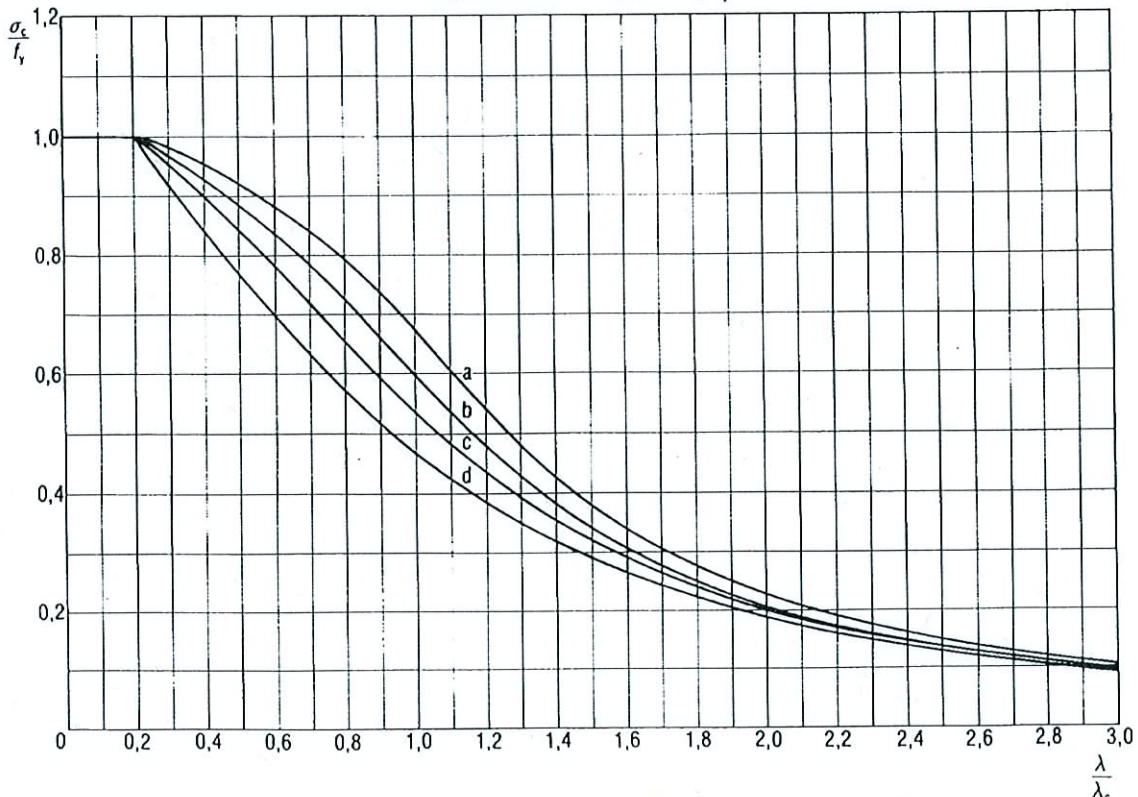
IL CARICO CRITICO EULERIANO



$$P_{cr} = \frac{\pi^2 EI}{l_0^2} \quad \sigma_{cr} = \frac{P_{cr}}{A} = \frac{\pi^2 E (I/A)}{l_0^2} = \frac{\pi^2 E}{\left(\frac{l_0}{\rho}\right)^2} = \frac{\pi^2 E}{\lambda^2}$$

LA CURVA CRITICA EULERIANA NON DIPENDE DA IMPERFEZIONI (ES. ECCENTRICITA', CARICHI APPLICATI, COLONNIA NON PERFETTAM. RETTILINEA)

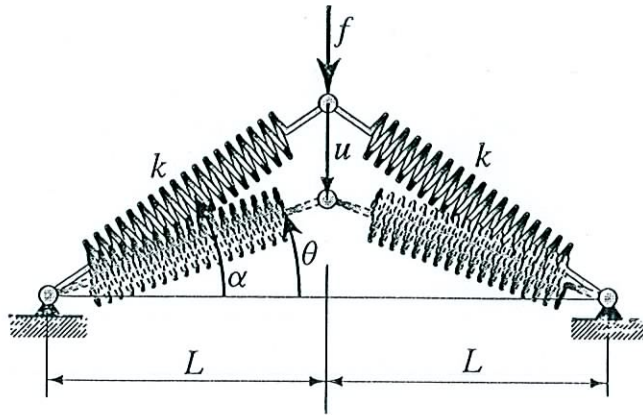
Diagramma 7-1 — Rapporti σ_c/f_y



Sezioni in acciaio (CUR 10011)

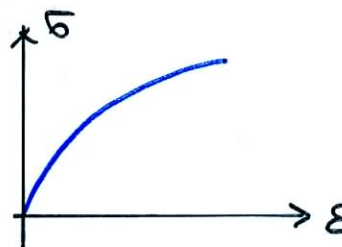
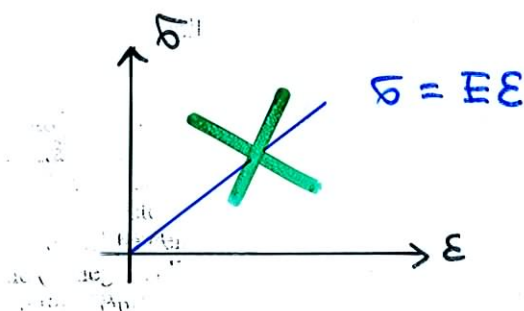
NON LINEARITA' GEOMETRICA E MECCANICA

● NON LINEARITA' GEOMETRICA (APPROCCIO EULERIANO)



L'equilibrio deve essere scritto nella configurazione deformata incognita (= geometria deformata)

● NON LINEARITA' MECCANICA (ES. CEMENTO ARMATO)



- fessurazione
- snervam. armature
- schiacciamento cls
- tension stiff.
- viscosità

Il comportamento dei materiali non è elastico lineare

INSTABILITA' DELLE COLONNE IN C.A.

Oskar Baumann "Die Knickung der Eisenbeton-Säulen"
(L'inflessione laterale delle colonne
in c.a.) Zurigo 1935 PhD Thesis

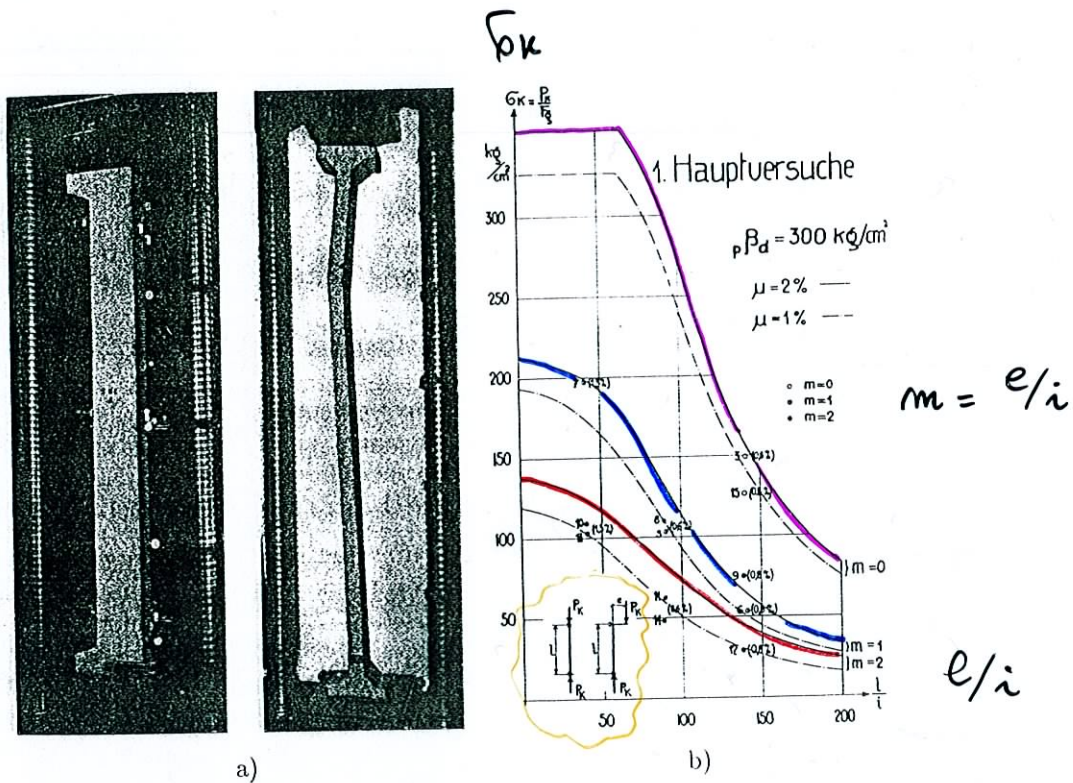


Figura 2.18 Le prove di Baumann ([28]): a) alcuni elementi indagati; b) relative curve critiche di instabilità.

Nelle colonne in c.a si ha contemporanea presenza di non linearità geometrica + meccanica (es. fessure, snervamento armature)



LA CAPACITA' PORTANTE DELLA COLONNA DIPENDE ANCHE DALLE IMPERFEZIONI (es. eccentricita', geometria non perfett. rettilinea, ...)

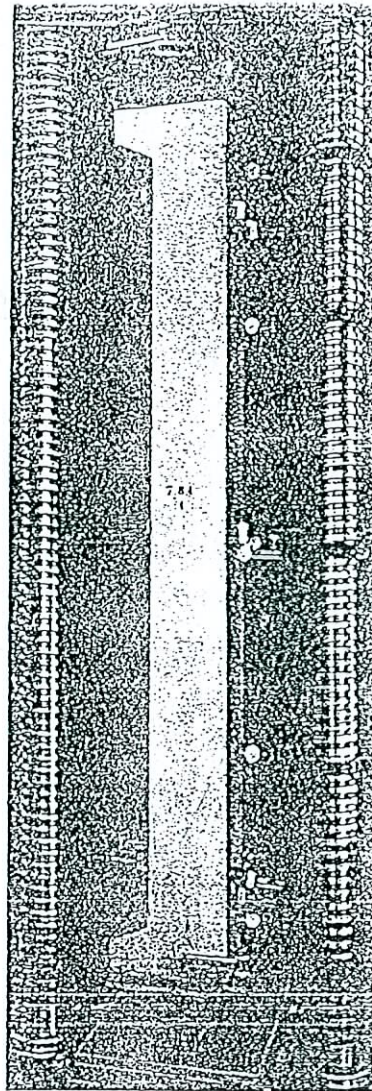


Fig. 37

1. Hauptserie
Säule Nr. 7

$F = 25/25 \text{ cm}; l = 2,70 \text{ m}$

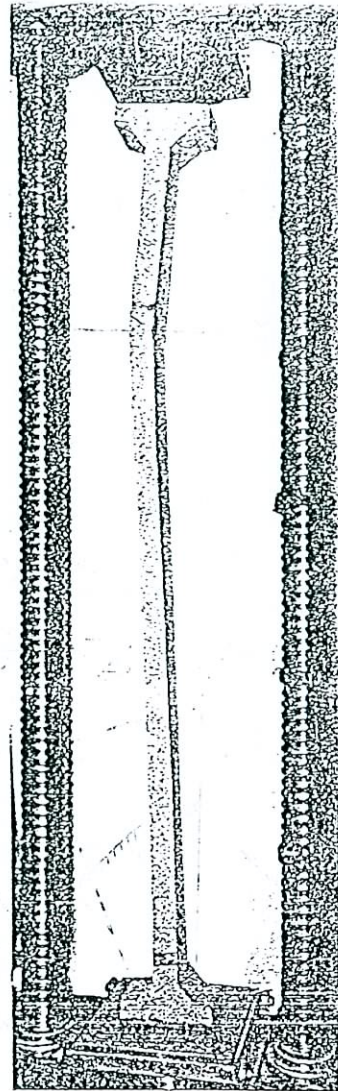


Fig. 38

2. Hauptserie
Säule Nr. 27

$F = 9/20 \text{ cm}; l = 3,11 \text{ m}$

O. BAUMANN "Die Kriechung der Eisenbeton-Säulen" Zürich 1935

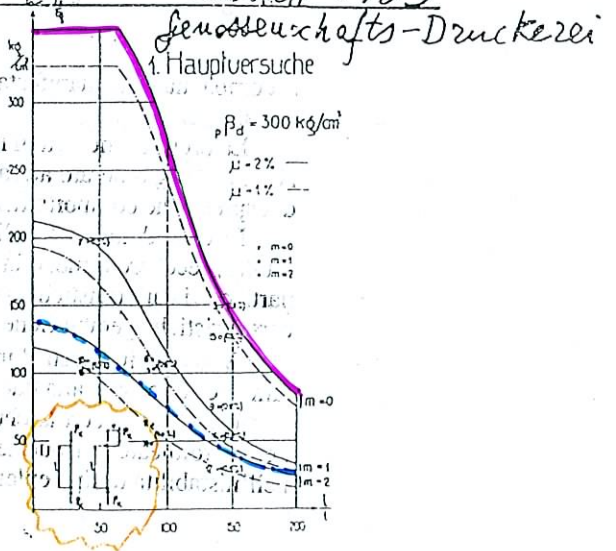
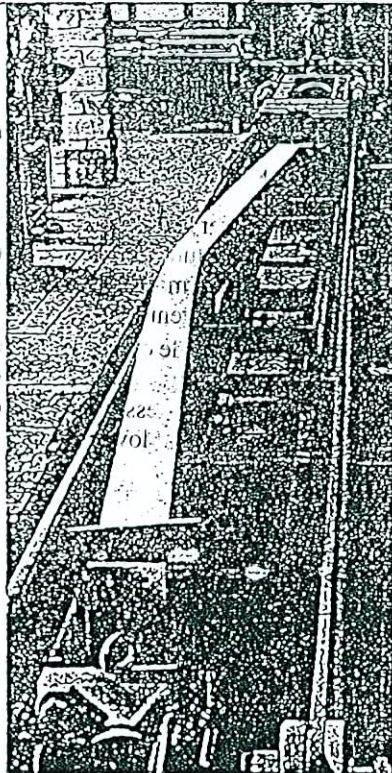


Fig. 39

Ausgeknickte Säule in der liegenden 100 t Presse

1. Hauptserie
Säule Nr. 12

$F = 16/25 \text{ cm}; l = 6,31 \text{ m}$

(nach Wegnahme der Aufhängungsvorrichtung)

C. COLONNA IN C.A. : METODO GENERALE

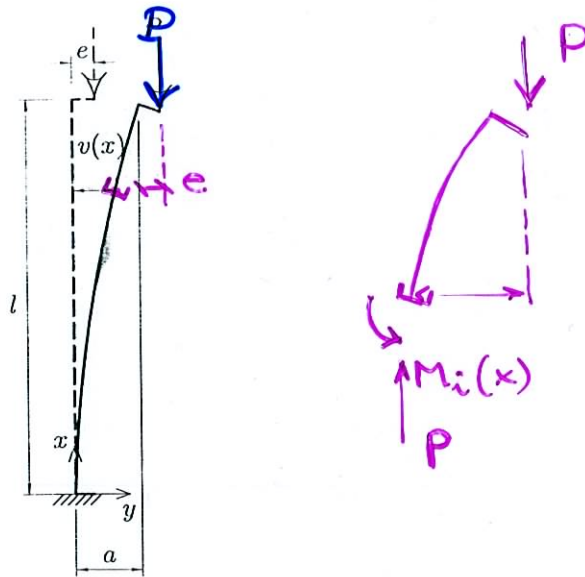


Figura 2.28 Determinazione dell'inflessione laterale di una colonna attraverso l'impiego del metodo cosiddetto "generale".

Ricerchiamo dunque, a titolo esemplificativo, l'equilibrio della colonna di Figura 2.28 (equilibrio già indagato, sotto diversa luce, in Figura 2.7), eguagliando, in una generica sezione di ascissa x , il momento esterno M_e a quello interno M_i :

$$M_e(x) = P(e + a - v(x)) \quad \leftarrow \text{N.L. geometrica}$$

$$M_i(x) = K_s(v''(x))v''(x), \quad \leftarrow \text{N.L. meccanica (2.7)}$$

essendo K_s la rigidezza secante della stessa generica sezione, funzione della curvatura (per "piccoli" spostamenti, come noto, può porsi $1/r \cong v''(x)$) che si manifesta in presenza dell'azione assiale $N = P$. Questa rigidezza secante può essere desunta, nella generica sezione, dal precedente legame $M - 1/r - N$ (Figura 2.29).

Uguagliando le (2.7), si scrive l'equazione di equilibrio:

$$M_i(x) = M_e(x) \Rightarrow K_s(v''(x))v''(x) + Pv(x) = P(e + a), \quad (2.8)$$

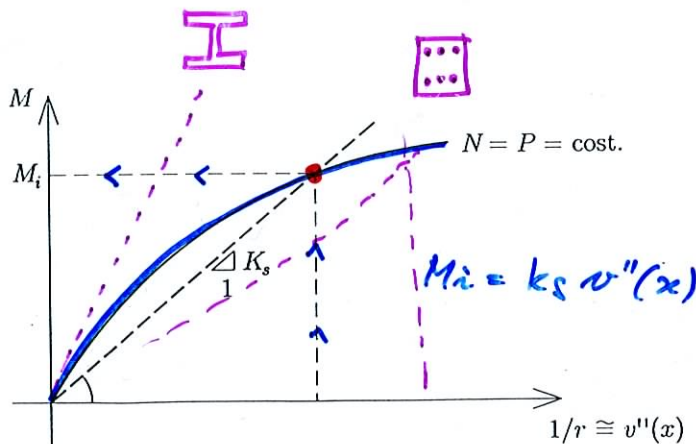


Figura 2.29 La rigidezza secante nel legame momento M - curvatura $1/r$ - azione assiale N per una sezione pressoinflessa di conglomerato armato.

COLONNA IN C.A. : METODI DI SOLUZIONE

Introducendo le condizioni al contorno, si ottiene il problema ai valori iniziali

$$\begin{cases} K_s (v''(x)) v''(x) + P v(x) = P(e + a) & 0 \leq x \leq l \\ v(0) = 0 \\ v'(0) = 0 \end{cases} \quad (2.9)$$

Problema
non
lineare



Soluzione
numerica

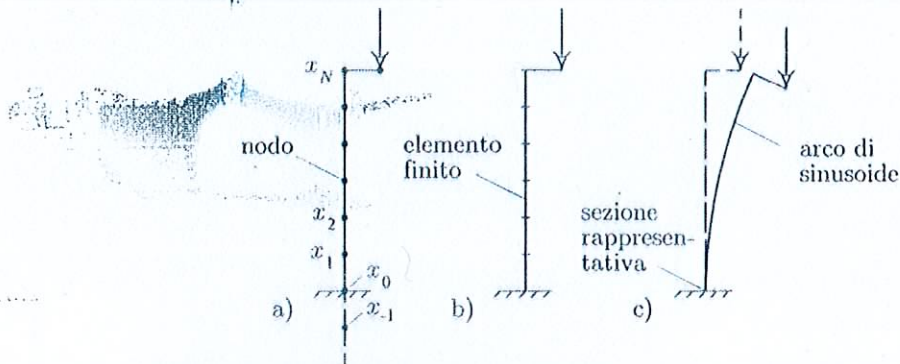
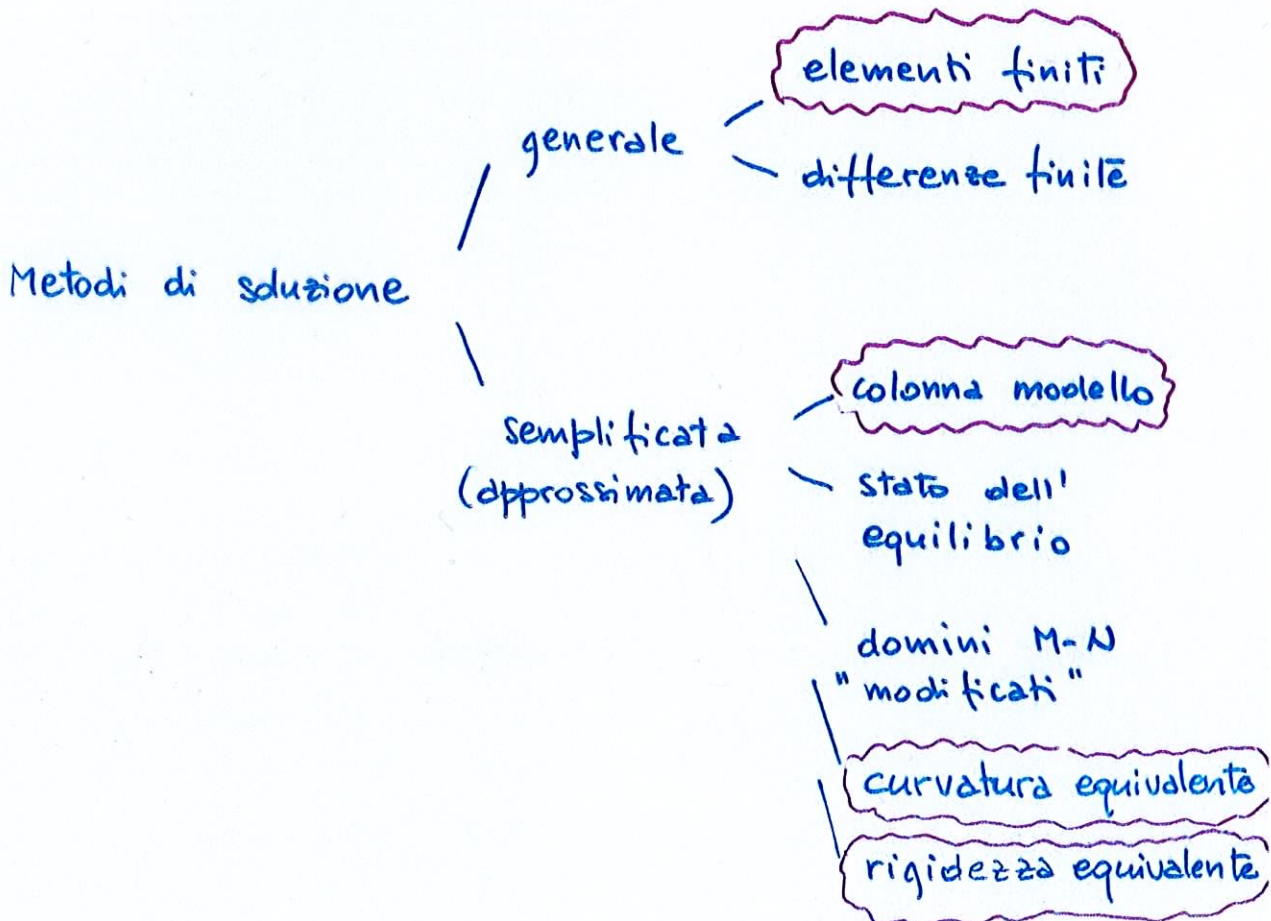
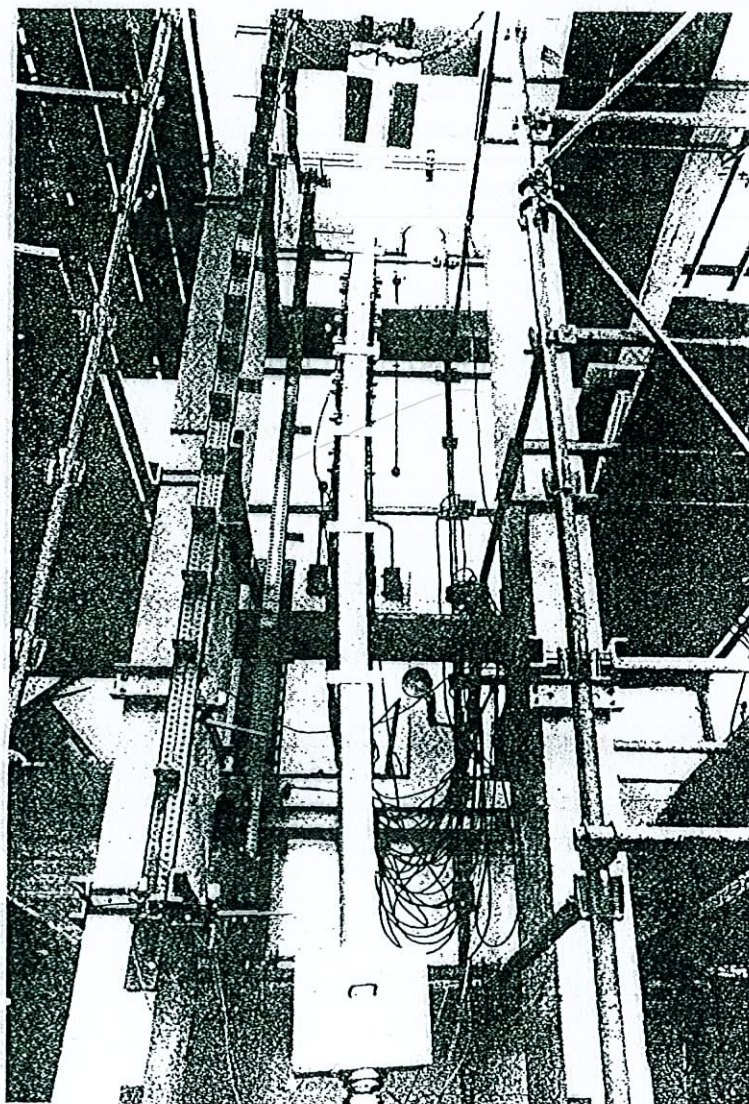


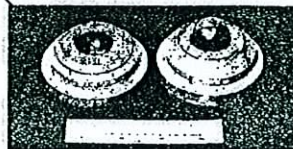
Figura 2.30 Analisi di una colonna isolata: a) metodo delle differenze finite; b) metodo degli elementi finiti; c) metodo approssimato della colonna modello.





a)

$L = 4,32 \text{ m}$



b)

Figura 6.38 Prove sperimentali [10]: l'instabilità di una colonna (a), incernierata alle sue estremità tramite i cuscinetti (b).

Cranston e Sturrok 1971

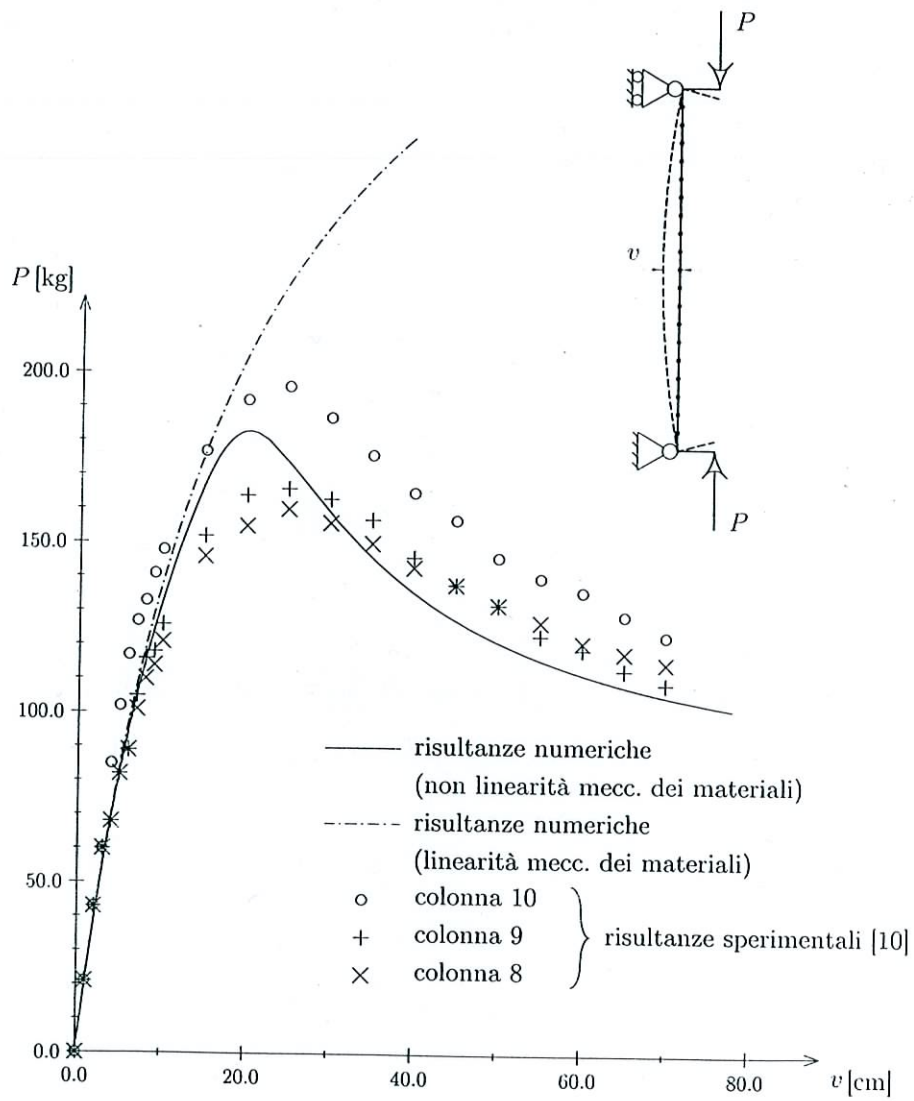


Figura 6.39 Confronto tra gli andamenti numerici e sperimentali del legame carico P – freccia v relativamente alle colonne 8, 9 e 10 dello studio [10].

COLONNA IN C.A. : ANALISI AGLI ELEMENTI FINITI

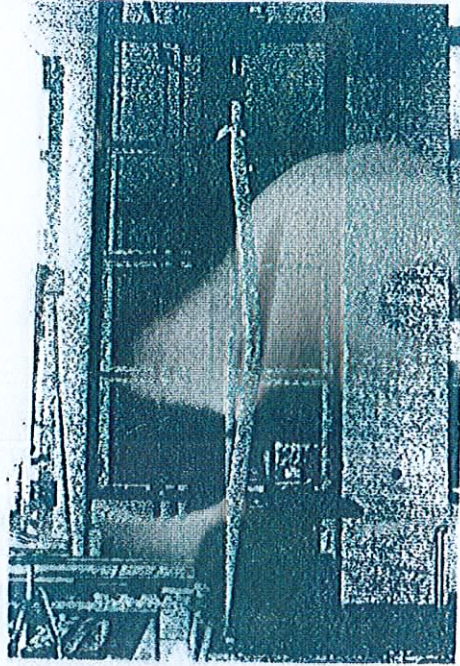


Figura 6.43 Il marcato sbandamento di una colonna indagata nel programma di prove sperimentali [11]. *Gaede*

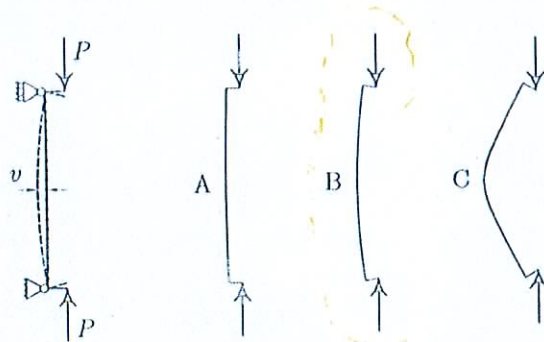
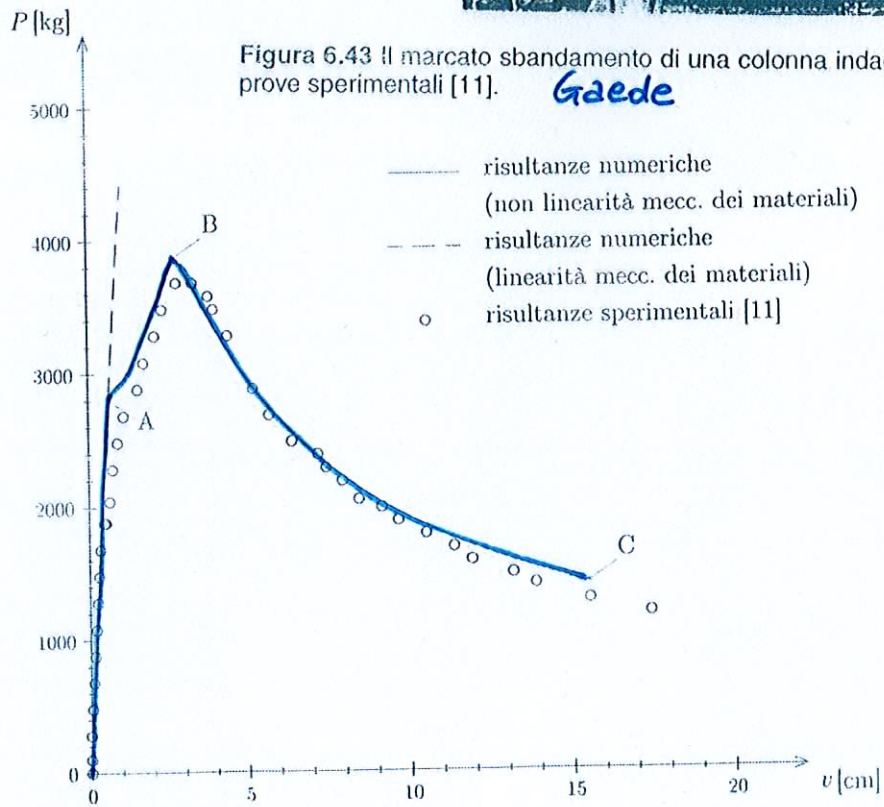


Figura 6.44 Confronto tra gli andamenti numerici e sperimentale del legame carico P - freccia v relativamente alla colonna 1/4 dello studio [11].

INSTABILITA' NEL CA : EUROCODICE 2

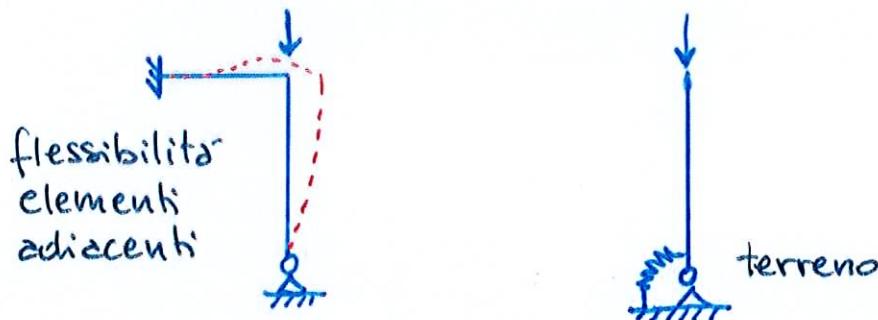
PRINCIPIO

Generalità

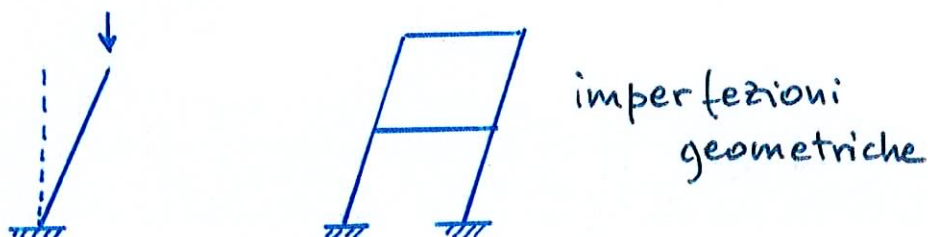
- (1)P La presente Sezione tratta gli elementi e le strutture il cui comportamento strutturale è significativamente influenzato da effetti del secondo ordine (per esempio pilastri, muri, pali, archi e gusci). Effetti globali del secondo ordine possono verificarsi in strutture con un sistema di controvento flessibile.
- (2)P Se si tiene conto degli effetti del secondo ordine, vedere comma (6), l'equilibrio e la resistenza devono essere verificati nello stato deformato. Le deformazioni devono essere calcolate tenendo conto degli effetti della fessurazione, delle proprietà non lineari dei materiali e della viscosità.

- fessurazione
- proprietà non lineari materiali
- viscosità

- (3)P Ove rilevante, l'analisi deve includere l'effetto della flessibilità degli elementi adiacenti e delle fondazioni (interazione terreno-struttura).



- (4)P Il comportamento strutturale deve essere studiato nella direzione nella quale possono prodursi le deformazioni e la flessione deviata deve essere tenuta in conto quando necessario.
- (5)P Le incertezze nella geometria e nella posizione dei carichi assiali devono essere tenute in conto come effetti aggiuntivi del primo ordine basati su imperfezioni geometriche, vedere punto 5.2.



5.8.6

Metodo generale

- (1)P Il metodo generale è basato sull'analisi non lineare, comprendente la non linearità geometrica e cioè gli effetti del secondo ordine. Si applicano le regole per l'analisi non lineare date nel punto 5.7.
- (2)P Devono essere utilizzate curve tensioni-deformazioni per calcestruzzo e acciaio idonee per l'analisi globale. L'effetto della viscosità deve essere tenuto in conto.
- (3) Possono essere utilizzate le relazioni tensioni-deformazioni per calcestruzzo e acciaio date nel punto 3.1.5, l'espressione (3.14) e il punto 3.2.3 (figura 3.8). Con diagrammi tensioni-deformazioni basati sui valori di progetto, si ottiene direttamente dall'analisi il valore di progetto del carico ultimo. Quindi nell'espressione (3.14) e nel valore di k si sostituisce f_{cm} con la resistenza a compressione di progetto f_{cd} e si sostituisce E_{cm} con:

$$E_{cd} = E_{cm} / \gamma_{cE} \quad (5.20)$$

Nota Il valore di γ_{cE} da adottare in uno Stato può essere reperito nella sua appendice nazionale. Il valore raccomandato è 1,2.

- (4) In assenza di modelli più raffinati, la viscosità può essere tenuta in conto moltiplicando tutti i valori della deformazione nel diagramma tensioni-deformazioni secondo il punto 5.8.6 (3) per un fattore $(1 + \varphi_{ef})$, dove φ_{ef} è il coefficiente efficace di viscosità secondo il punto 5.8.4.
- (5) L'effetto favorevole del "tension stiffening" può essere tenuto in conto.

Nota Questo effetto è favorevole e per semplicità può essere sempre trascurato.

- (6) Generalmente le condizioni di equilibrio e congruenza delle deformazioni vengono soddisfatte in un certo numero di sezioni trasversali. Un'alternativa semplificata consiste nel considerare soltanto la sezione critica o le sezioni critiche, assumendo una variazione appropriata della curvatura tra di esse, per esempio simile a quella del momento del primo ordine o comunque semplificata in modo adeguato.

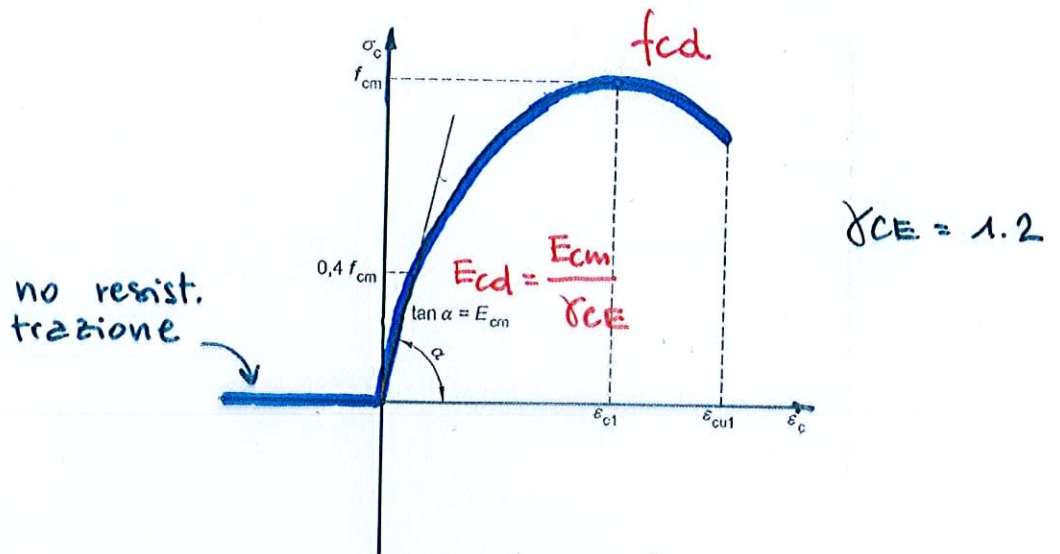
L'instabilità è uno stato limite ultimo



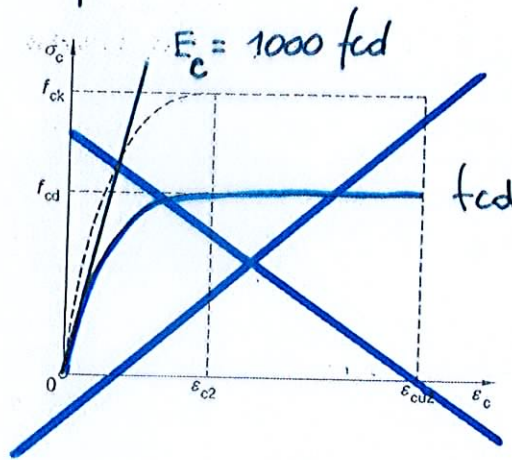
Valori di design per i materiali

METODO GENERALE : LEGGI COSTITUTIVE

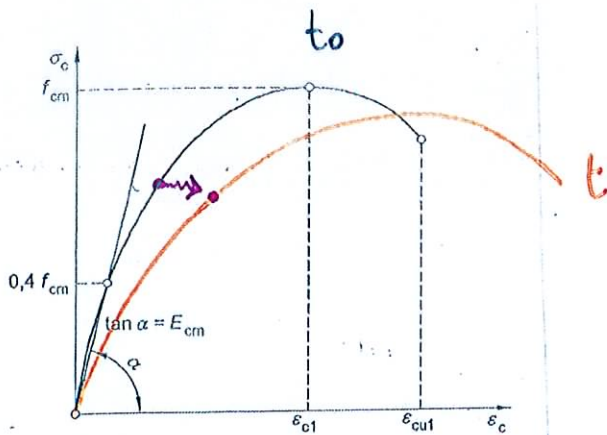
- Sargin



- Parabola - rettangolo



non consente di definire correttamente E_c



EFFETTO DELLA VISCOSITA'

$$E(t) = E(t_0) (1 + \mu_{eff})$$

μ_{eff} = coeff. di viscosità efficace

METODO GENERALE : ESEMPIO

(Guida all' uso dell' Eurocodice 2 - AICAP)

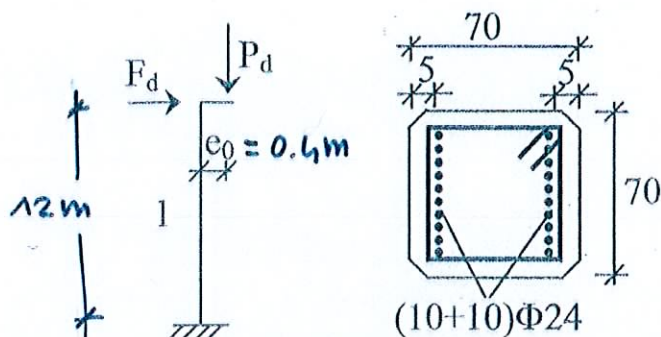


Figura 5.6. Colonna snella e sezione trasversale

Dati

$$l = 12000 \text{ mm}$$

$$e_0 = 400 \text{ mm}$$

$$f_{ck} = 40 \text{ MPa}$$

$$f_{yk} = 450 \text{ MPa}$$

$$\epsilon_{uk} = 75\text{‰}$$

$$\varphi_{ef} = 2.5$$

$$P_d = 1 \text{ MN}$$

$$F_d = 40 \text{ kN}$$

$$E_{cm} = 35 \text{ GPa}$$

Materiali

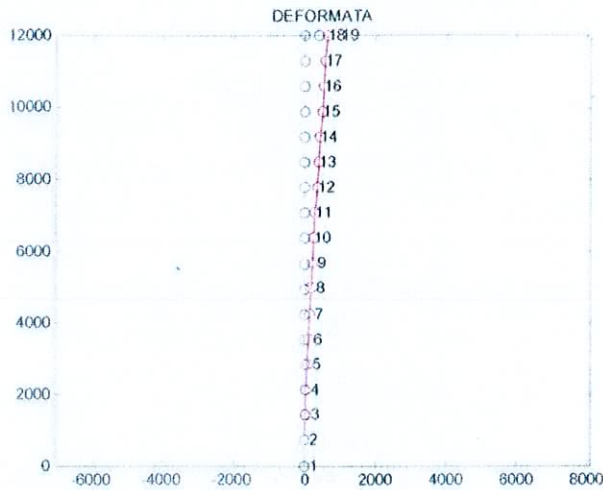
$$f_{cd} = 0.85 \cdot \frac{f_{ck}}{\gamma_c} = 0.85 \cdot \frac{40}{1.5} = 22.67 \text{ MPa}$$

$$E_{cd} = \frac{E_{cm}}{\gamma_{CE}} = \frac{35 \text{ GPa}}{1.2} = 29.167 \text{ GPa}$$

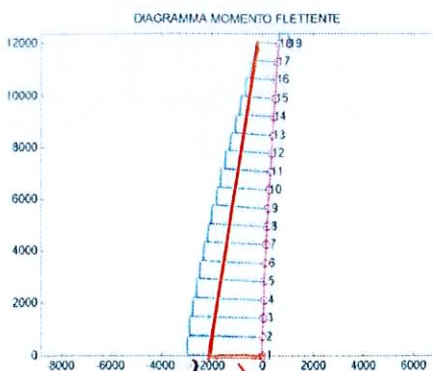
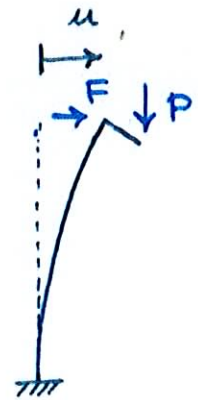
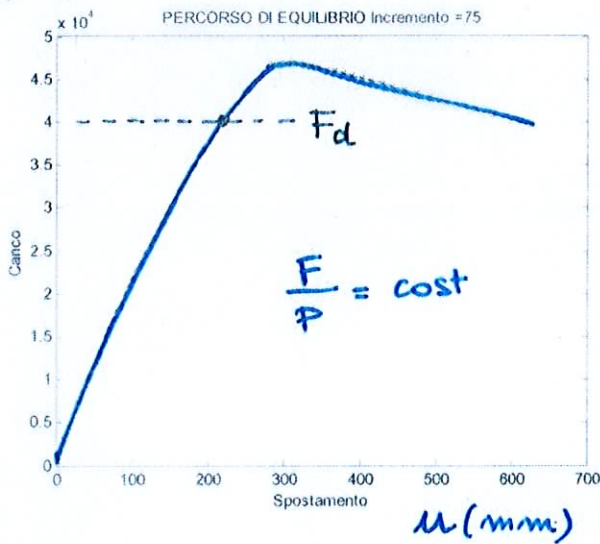
$$f_{yd} = \frac{f_{yk}}{\gamma_s} = \frac{450}{1.15} = 391 \text{ MPa}$$

ESEMPIO: METODO GENERALE

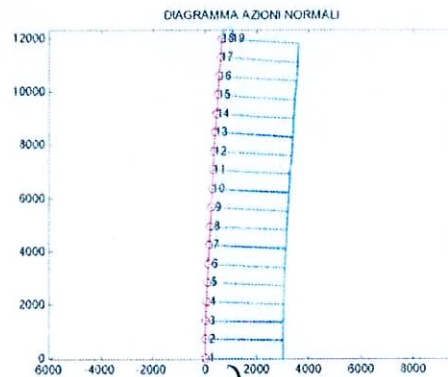
(Ferretti, Iori, Morini - La stabilità delle strutture)
 Programma fornito nel CD allegato



$F(N)$



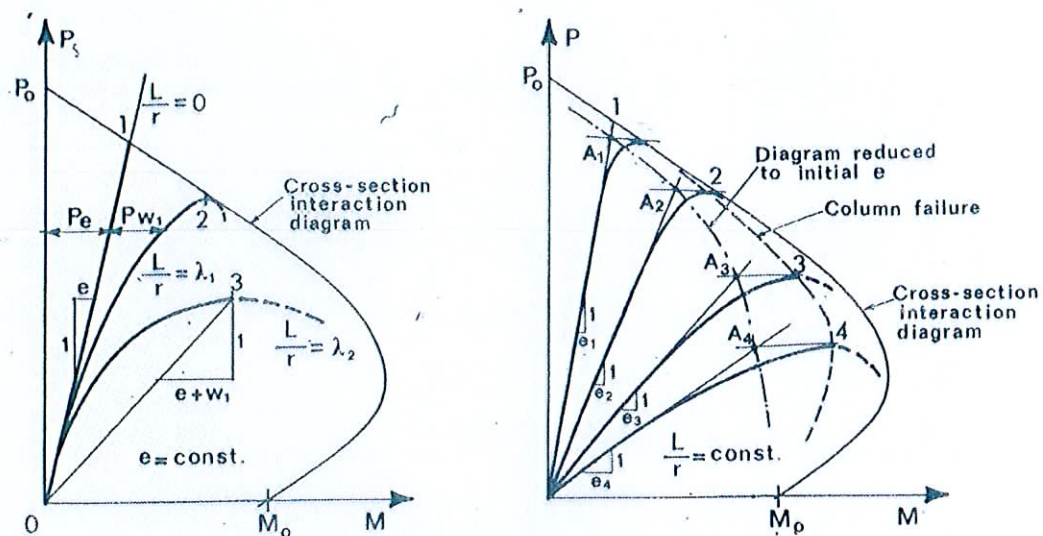
M_2 M_1



N_{tot}

$M_{tot} = M_1 + M_2$

DOMINIO COLONNA SNELLA



(Bažant, Cedolin)

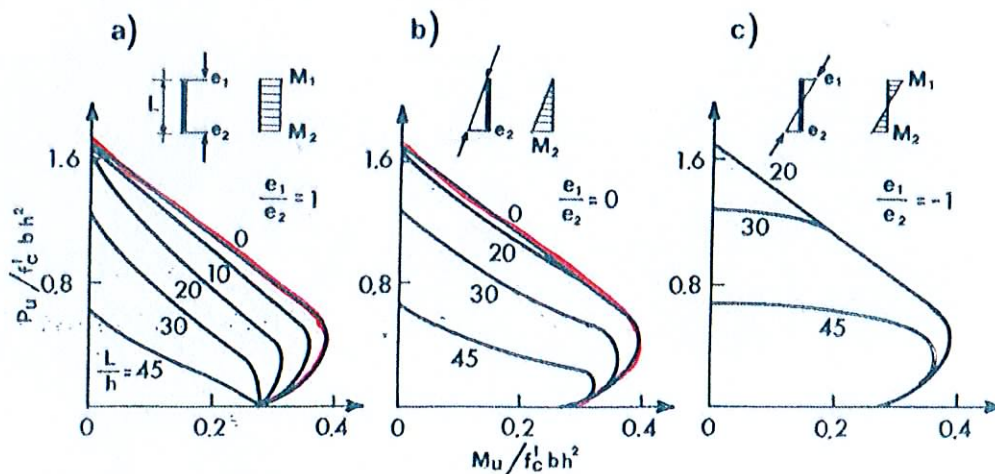
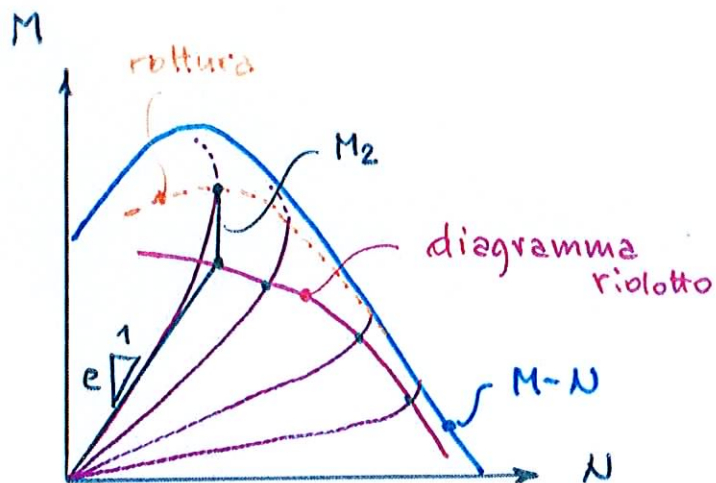
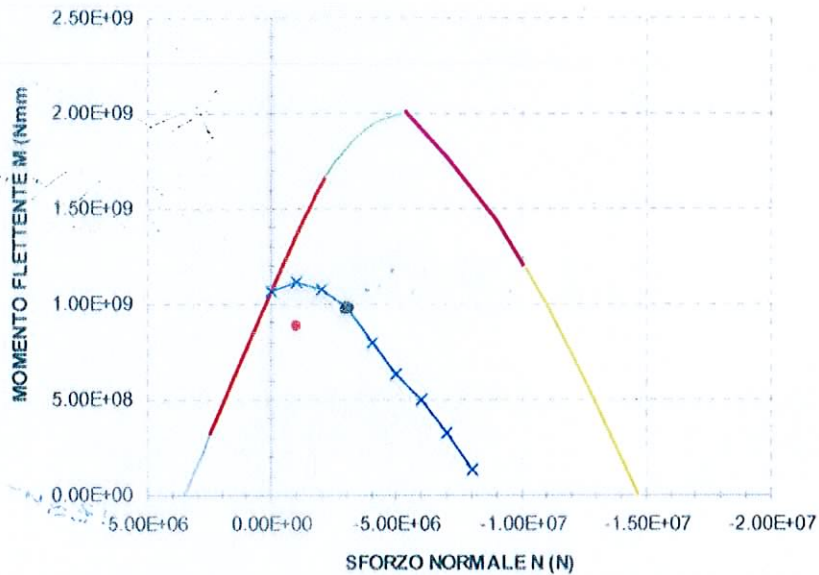


Figure 8.29 Reduced interaction diagrams. (Adapted from MacGregor, Breen, and Pfrang, 1970.)

ESEMPIO : DOMINIO COLONNA SNELLA

Dominio resistente colonna snella (USA)

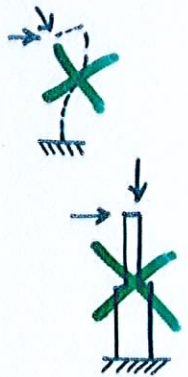
Diagramma di interazione ridotto (ITA)



La rottura non avviene sul dominio M-N

METODO DELLA COLONNA MODELLO: IPOTESI

- la deformata si approssima con cosinusoidale
- la curvatura non cambia segno
- la sezione è costante
- la sezione più sollecitata è quella di base



Consideriamo un'asta incastrata alla base, libera in sommità ed inflessa con curvature di ugual segno (Figura 3.6). Il metodo della colonna modello assegna a priori, in modo approssimato, la deformata dell'asta secondo la relazione:

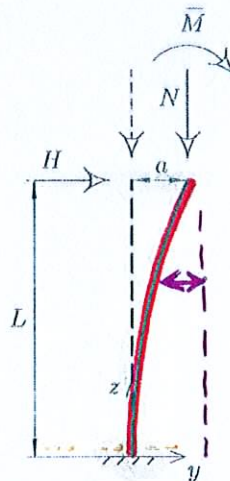
$$y(z) = a \left(1 - \cos \frac{\pi z}{2L} \right) \quad (3.2)$$

cosicché il valore dello spostamento orizzontale a di sommità può essere espresso in funzione della curvatura alla base della colonna, ovvero:

$$(1/r)_{z=0} \cong y''_{z=0} = \frac{\pi^2 a}{4L^2} \quad (3.3)$$

Il cosiddetto momento di secondo ordine dovuto all'inflessione dell'asta, nella sezione più sollecitata d'incastro dove si esegue la verifica, risulta pertanto:

$$a = \frac{4L^2}{\pi^2} \left(\frac{1}{r} \right)_{z=0}$$



$$M_I = \bar{M} + H \cdot L$$

$$M_{II} = N \cdot a = N \frac{4L^2}{\pi^2} \cdot \left(\frac{1}{r} \right)_{z=0}$$

pendenza
retta

Figura 3.6 Lo schema statico della cosiddetta "colonna modello".

$$M_{II} = N a = N \frac{4L^2}{\pi^2} (1/r)_{z=0} \quad (3.4)$$

ed il momento totale M , sempre nella stessa sezione, vale:

$$M = M_I + M_{II} \quad (3.5)$$

$$M_i = M_e \quad \text{Conditione di equilibrio}$$

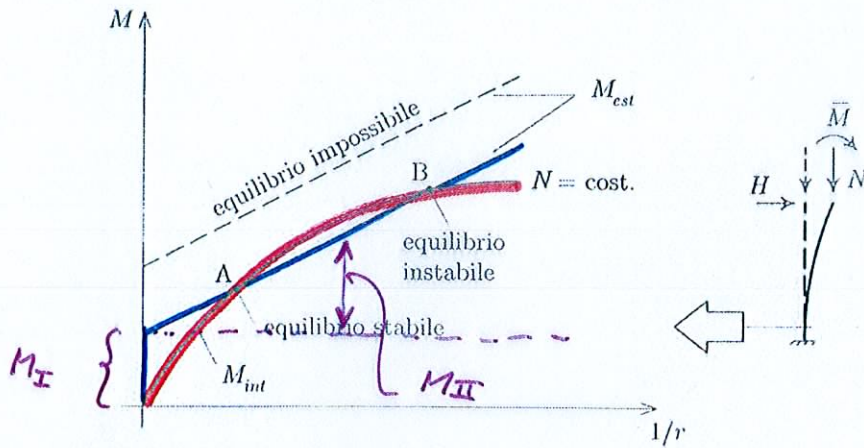


Figura 3.7 La messa a confronto dei valori del momento interno (linea curva) e del momento esterno (linee rette) nella sezione d'incastro della colonna.

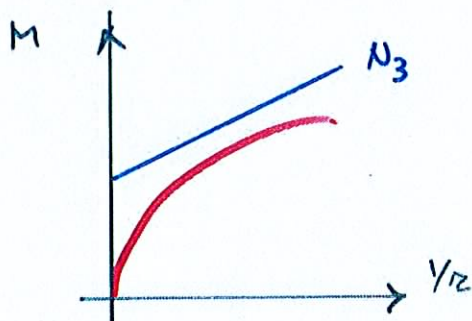
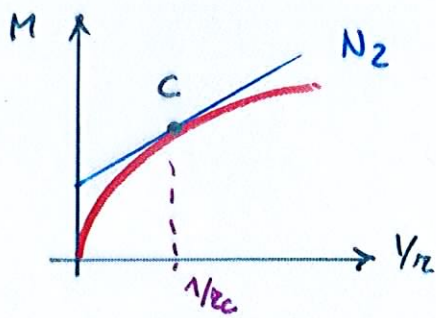
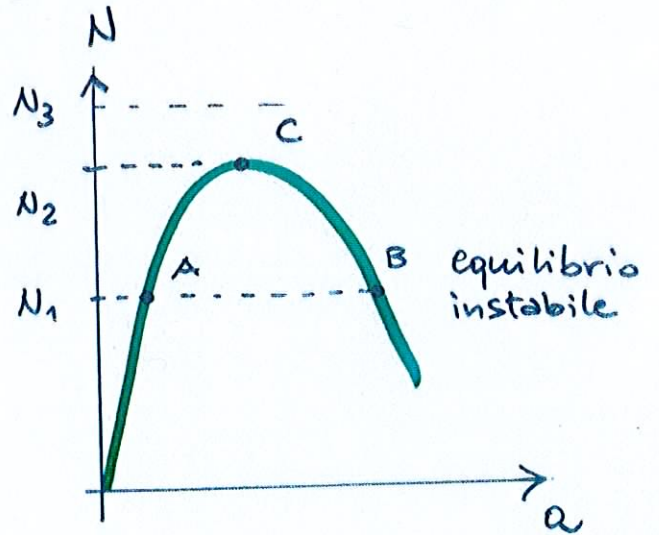
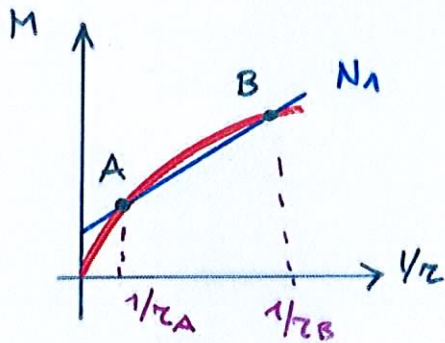
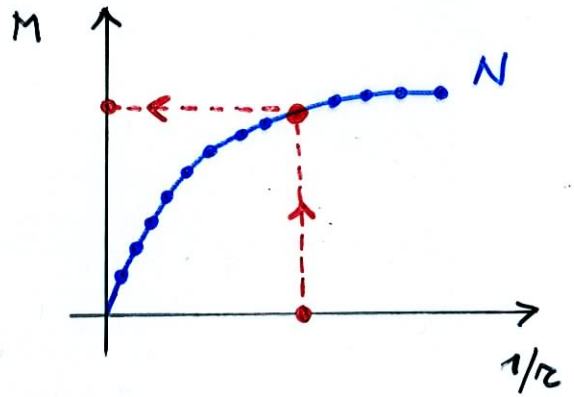


DIAGRAMMA MOMENTO-CURVATURA - N

Il diagramma $M-1/r-N$ viene tracciato per punti per un dato N



• CONGRUENZA

- Sezioni piane
- $1/r$ assegnato
- E_m incognito...

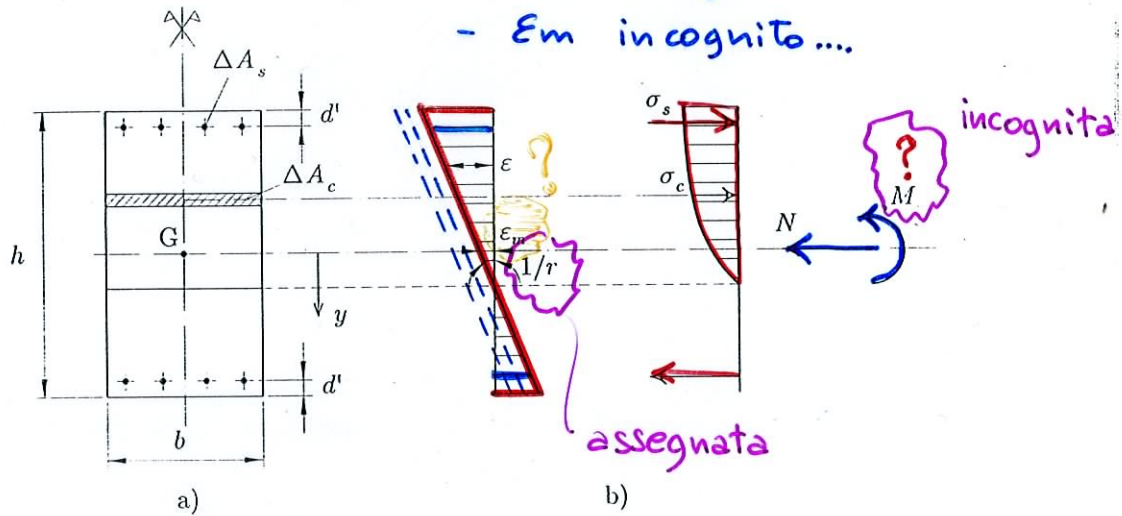


Figura 3.1 La sezione esaminata: a) sue caratteristiche geometriche; b) stati deformativo e tensionale ad essa relativi.

• LEGGI COSTITUTIVE

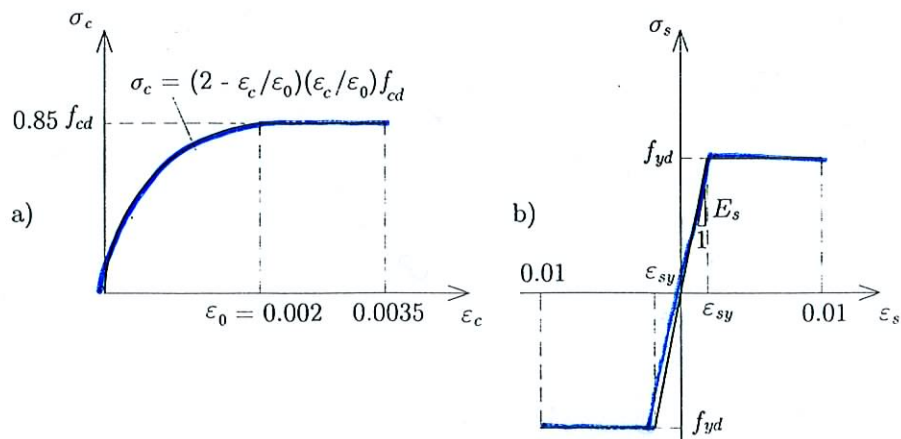


Figura 2.25 Legami sforzi-deformazioni di "progetto": a) conglomerato compresso; b) acciaio compresso e teso.

DIAGRAMMA MOMENTO - CURVATURA - N

• EQUILIBRIO

$$\begin{cases} N = \int_{A_c} \sigma_c dA_c + \sum_i \sigma_s A_{s,i} & \rightsquigarrow \epsilon_m = \epsilon_0 \\ M = \int_{A_c} \sigma_c y dA_c + \sum_i \sigma_s y_{s,i} A_{s,i} & \rightsquigarrow M \quad (2.5) \\ 1/r = (\epsilon_0 - \epsilon) / y, \end{cases}$$

? ϵ_0 VIENE RICAVATA ITERATIVAMENTE
FINO AD OTTENERE LO SFORZO NORMALE
N ASSEGNATO

essendo:

- σ_c la tensione di compressione nel calcestruzzo;
- A_c l'area di calcestruzzo;
- σ_s la tensione (di compressione o trazione) nell'acciaio;
- $A_{s,i}$ l'area della generica barra d'armatura;
- y la distanza tra l'area elementare d'integrazione ed il baricentro geometrico G della sezione pensata interamente reagente;
- $y_{s,i}$ la distanza tra la generica barra d'armatura e lo stesso baricentro geometrico G della sezione;
- ϵ_0 la deformazione in corrispondenza dell'asse baricentrico;
- ϵ la deformazione della generica striscia infinitesima d'integrazione considerata.

↓
PROGRAMMA
DI CALCOLO

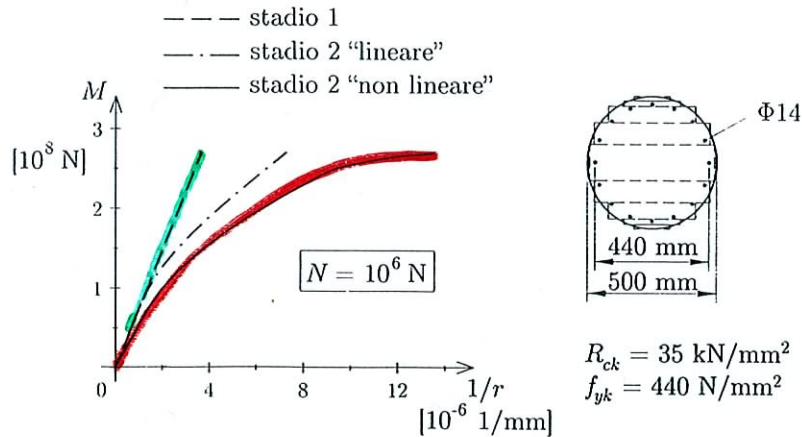
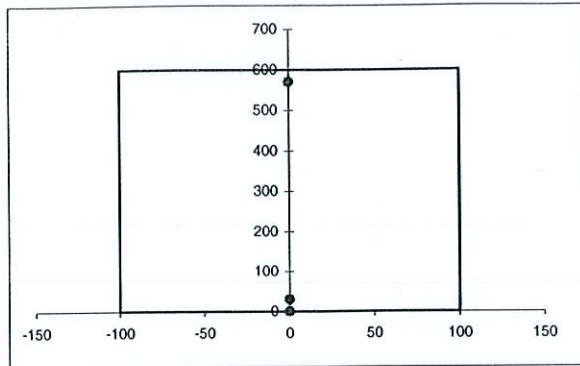


Figura 3.5 La relazione $M - 1/r - N$ per una sezione in conglomerato armato di forma circolare, ricavata attraverso l'uso di un programma computazionale contenuto nel supporto informatico allegato alla terza di copertina.

DIAGRAMMA MOMENTO-CURVATURA

CARATTERISTICHE GEOMETRICHE DELLA SEZIONE



	Basi	Altezze	As [mm ²]	Y As [mm]
1	200	600	462	30
2			157	570
3				
4				
5				
6				
7				
8				
9				

CARATTERISTICHE MECCANICHE DEI MATERIALI

- Rck = 35 Resistenza cubica caratteristica del calcestruzzo in N/mm²
fck = 29.05 Resistenza cilindrica caratteristica del calcestruzzo in N/mm² (fck=0.83Rck)
fcd = 18.16 Resistenza di calcolo del calcestruzzo in N/mm² (fcd=fck/1.6)
fctm = 2.83 Resistenza media a trazione in N/mm² (fctm=0.3fck^{2/3} EC2 3.1.2.3)
fctk = 1.98 Resistenza caratteristica a trazione in N/mm² (fctk=0.7*fctm EC2 3.1.2.3)
fctd = 0.00 Resistenza di calcolo a trazione in N/mm²
Ecm = 31670.36 Modulo di elasticita' medio del calcestruzzo in N/mm² (9500*(fck+8)^{2/3})
Ecd = 19793.98 Modulo di elasticita' di calcolo del calcestruzzo in N/mm² (Ecm/1.6)
fyk = 440 Resistenza caratteristica dell'acciaio in N/mm²
fyd = 382.61 Resistenza di calcolo dell'acciaio in N/mm² (fyd=fyk/1.15)
Es = 200000 Modulo di elasticita' dell'acciaio in N/mm²

N = -1.0E+06 Sforzo normale in N (applicato ad H/2 e positivo se di trazione)

β1 = 1 Coefficiente β1 EC2 A.2.2 (0.5 barre lisce, 1 barre aderenza migliorata)

β2 = 1 Coefficiente β2 EC2 A.2.2 (0.5 carichi ripetuti, 1 carichi breve durata)

Legge cls 2 Legge costitutiva del calcestruzzo:

- 1 = Lineare elastica (l.e.)
- 2 = Sargin (EC2 4.2.1.3.3)
- 3 = Parabola rettangolo (EC2 4.2.1.3.3)

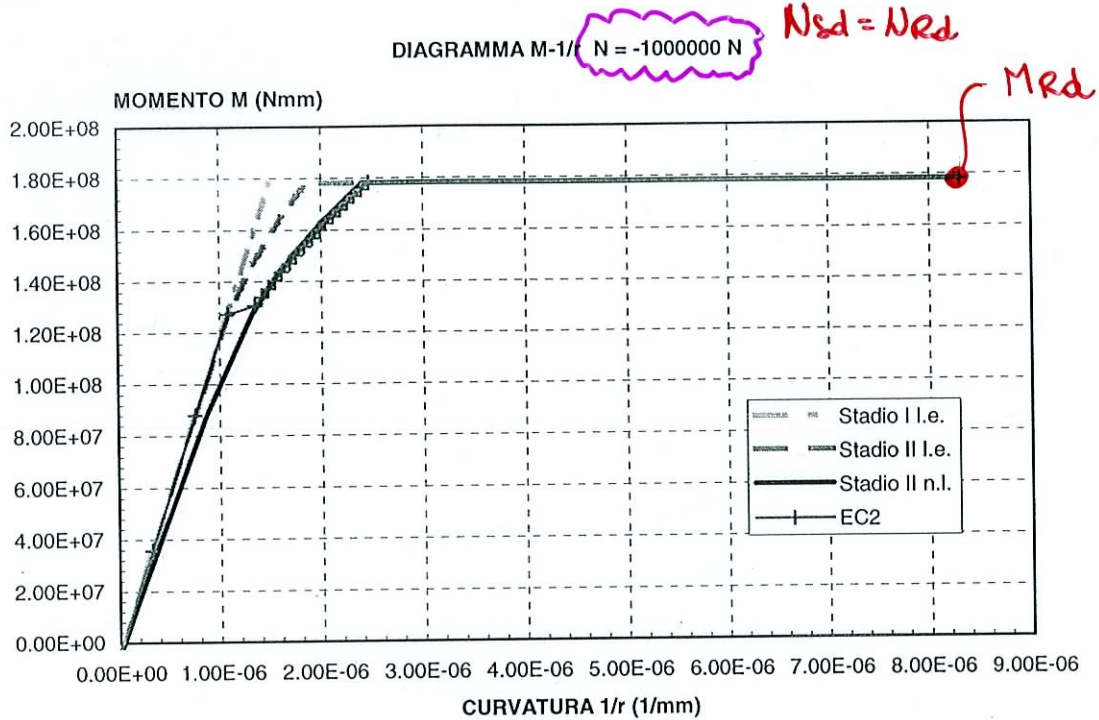
Valori di calcolo? 1 Caratteristiche meccaniche dei materiali:

- 1 = valori caratteristici
- 2 = valori di calcolo

QUALI SCEGLIERE?

I1 = 3.8383E+09 Momento d' inerzia sezione stadio I in mm⁴

$M_{cr} = 1.2716E+08$ Momento di fessurazione in Nmm
 $M_{Rd} = 1.7820E+08$ Momento ultimo di calcolo in Nmm
 Campo 4 Campo in cui viene raggiunto lo stato limite ultimo



	STADIO I l.e.		STADIO II l.e.		STADIO II n.l.		EC2 (A.2.2)	
	1/r (1/mm)	M (Nmm)	1/r (1/mm)	M (Nmm)	1/r (1/mm)	M (Nmm)	1/r (1/mm)	M (Nmm)
1	0.00E+00	-3.55E+06	5.35E-09	-3.55E+06	6.99E-09	-3.55E+06	0.00E+00	-3.55E+06
2	3.23E-07	3.57E+07	3.24E-07	3.57E+07	3.73E-07	3.57E+07	3.23E-07	3.57E+07
3	7.53E-07	8.79E+07	7.54E-07	8.79E+07	8.65E-07	8.79E+07	7.53E-07	8.79E+07
4	1.08E-06	1.27E+08	1.09E-06	1.27E+08	1.32E-06	1.27E+08	1.08E-06	1.27E+08
5	1.10E-06	1.30E+08	1.13E-06	1.30E+08	1.37E-06	1.30E+08	1.35E-06	1.30E+08
6	1.13E-06	1.34E+08	1.16E-06	1.34E+08	1.42E-06	1.34E+08	1.42E-06	1.34E+08
7	1.16E-06	1.37E+08	1.21E-06	1.37E+08	1.48E-06	1.37E+08	1.48E-06	1.37E+08
8	1.18E-06	1.40E+08	1.25E-06	1.40E+08	1.53E-06	1.40E+08	1.55E-06	1.40E+08
9	1.21E-06	1.44E+08	1.30E-06	1.44E+08	1.59E-06	1.44E+08	1.61E-06	1.44E+08
10	1.24E-06	1.47E+08	1.33E-06	1.47E+08	1.66E-06	1.47E+08	1.69E-06	1.47E+08
11	1.26E-06	1.50E+08	1.39E-06	1.50E+08	1.72E-06	1.50E+08	1.75E-06	1.50E+08
12	1.29E-06	1.53E+08	1.43E-06	1.53E+08	1.79E-06	1.53E+08	1.84E-06	1.53E+08
13	1.32E-06	1.57E+08	1.48E-06	1.57E+08	1.87E-06	1.57E+08	1.91E-06	1.57E+08
14	1.35E-06	1.60E+08	1.54E-06	1.60E+08	1.94E-06	1.60E+08	1.99E-06	1.60E+08
15	1.37E-06	1.63E+08	1.58E-06	1.63E+08	1.99E-06	1.63E+08	2.04E-06	1.63E+08
16	1.39E-06	1.65E+08	1.61E-06	1.65E+08	2.06E-06	1.65E+08	2.12E-06	1.65E+08
17	1.41E-06	1.68E+08	1.66E-06	1.68E+08	2.13E-06	1.68E+08	2.19E-06	1.68E+08
18	1.43E-06	1.70E+08	1.71E-06	1.70E+08	2.20E-06	1.70E+08	2.26E-06	1.70E+08
19	1.45E-06	1.73E+08	1.76E-06	1.73E+08	2.27E-06	1.73E+08	2.33E-06	1.73E+08
20	1.47E-06	1.76E+08	1.81E-06	1.76E+08	2.34E-06	1.76E+08	2.40E-06	1.76E+08
21	1.50E-06	1.78E+08	1.86E-06	1.78E+08	2.41E-06	1.78E+08	2.47E-06	1.78E+08
22	1.50E-06	1.78E+08	8.30E-06	1.78E+08	8.30E-06	1.78E+08	8.30E-06	1.78E+08

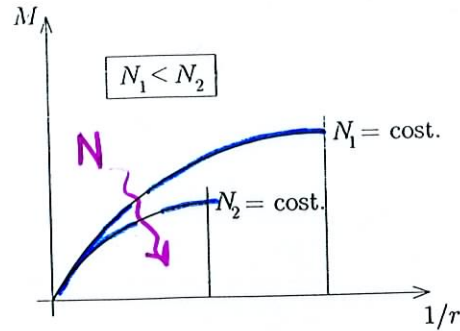
Stadio I = calcestruzzo resistente a trazione e compressione

Stadio II = calcestruzzo resistente a sola compressione

l.e. = calcestruzzo compresso lineare elastico

n.l. = calcestruzzo compresso non lineare

1/r = curvatura



Il diagramma dipende da N

Figura 3.3 La relazione momento M – curvatura $1/r$ – azione assiale N .

① ② ③ luoghi di possibile instabilità per un elemento in c.a.

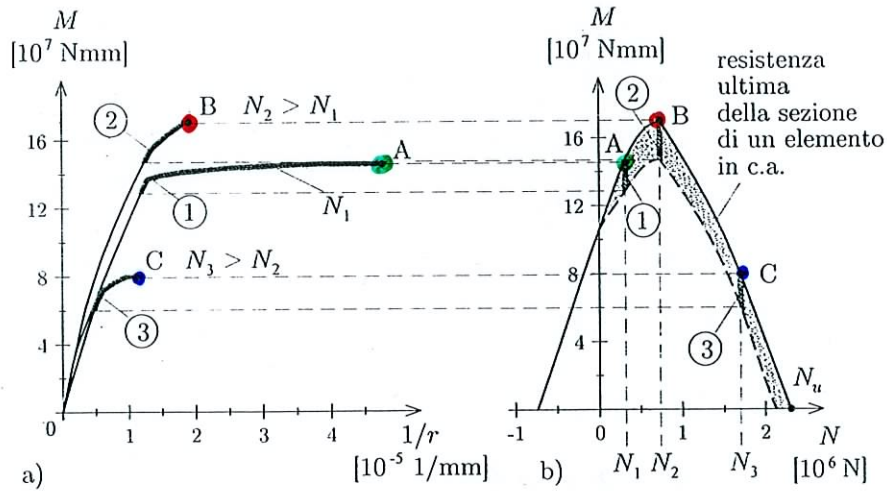


Figura 2.26 Il legame momento–curvatura–azione assiale per la sezione in conglomerato armato di Figura 2.23: a) intreccio delle curve al variare di N ; b) il corrispondente dominio di interazione $M - N$ per la stessa sezione, con indicate la zona di "contrazione" per effetto dell'instabilità.

Al crescere di N i diagrammi si "intrecciano"

METODO COLONNA MODELLO : ESEMPIO

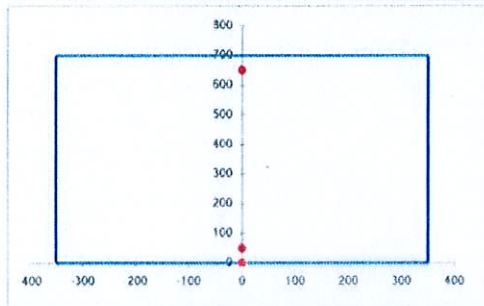
(Ferretti, Iori, Morini - La Stabilita' delle strutture,
CD allegato)

Programma per SOLO USO DIDATTICO fornito ai partecipanti del Corso di Aggiornamento Professionale in merito alla
**MISURA DELLA SICUREZZA DI STRUTTURE IN C.A. E C.A.P. CON IL METODO
SEMI-PROBABILISTICO AGLI STATI LIMITE**

Convenzione tra l'Universita' di Parma e l'Ordine degli Ingegneri della Provincia di Parma ai sensi art. 92 DPR 386/80
Maggio 1997

DIAGRAMMA MOMENTO-CURVATURA

CARATTERISTICHE GEOMETRICHE DELLA SEZIONE



	Basi	Altezze	As [mm ²]	Y As [mm]
1	700	700	4523.76	50
2			4523.76	650
3				
4				
5				
6				
7				
8				
9				

CARATTERISTICHE MECCANICHE DEI MATERIALI

Rck = 48.1927711 Resistenza cubica caratteristica del calcestruzzo in N/mm²
fck = 40.00 Resistenza cilindrica caratteristica del calcestruzzo in N/mm² (fck=0.83Rck)
fcd = 26.67 Resistenza di calcolo del calcestruzzo in N/mm² (fcd=fck/1.6)
fctm = 3.51 Resistenza media a trazione in N/mm² (fctm=0.3fck^{2/3} EC2 3.1.2.3)
fctk = 2.46 Resistenza caratteristica a trazione in N/mm² (fctk=0.7*fctm EC2 3.1.2.3)
fctd = 0.00 Resistenza di calcolo a trazione in N/mm²
Ecm = 35000.00 Modulo di elasticita' medio del calcestruzzo in N/mm² (9500*(fck+8)^{2/3})
Ecd = 29166.67 Modulo di elasticita' di calcolo del calcestruzzo in N/mm² (Ecm/1.6)
fyk = 450 Resistenza caratteristica dell'acciaio in N/mm²
fyd = 391.30 Resistenza di calcolo dell'acciaio in N/mm² (fyd=fyk/1.15)
Es = 200000 Modulo di elasticita' dell'acciaio in N/mm²

N = -1.0E+06 Sforzo normale in N (applicato ad H/2 e positivo se di trazione)

β_1 = 1 Coefficiente β_1 EC2 A.2.2 (0.5 barre lisce, 1 barre aderenza migliorata)
 β_2 = 1 Coefficiente β_2 EC2 A.2.2 (0.5 carichi ripetuti, 1 carichi breve durata)

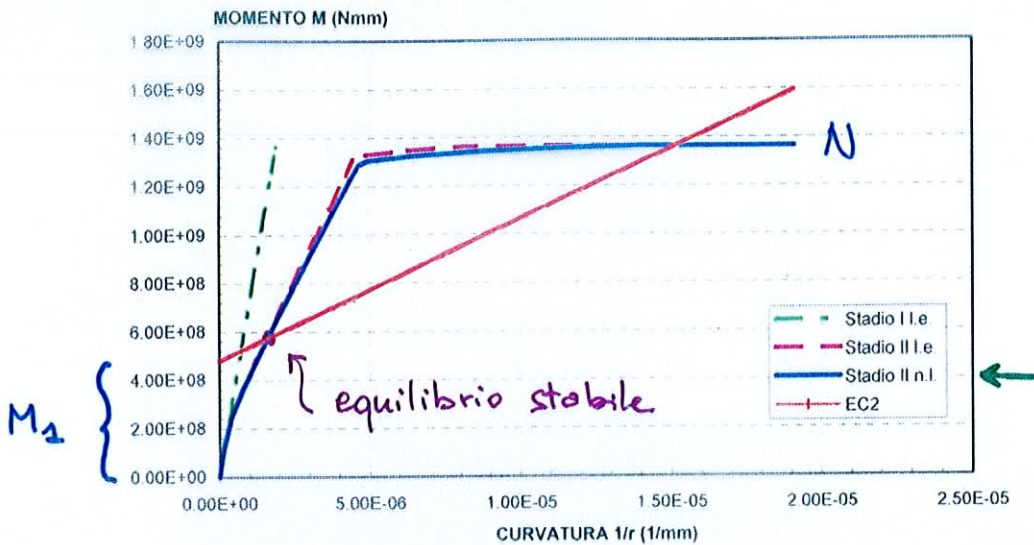
Legge cls 2 Legge costitutiva del calcestruzzo:
1 = Lineare elastica (l.e.)
2 = Sargin (EC2 4.2.1.3.3)
3 = Parabola rettangolo (EC2 4.2.1.3.3)

Valori di calcolo? 2 Caratteristiche meccaniche dei materiali:
1 = valori caratteristici
2 = valori di calcolo

METODO COLONNA MODELLO: ESEMPIO

$I_1 = 2.4778E+10$ Momento d'inerzia sezione stadio I in mm^4
 $M_{cr} = 1.3038E+08$ Momento di fessurazione in Nmm
 $M_{Rd} = 1.3634E+09$ Momento ultimo di calcolo in Nmm
 Campo 2 Campo in cui viene raggiunto lo stato limite ultimo

DIAGRAMMA M-1/r N = -1000000 N

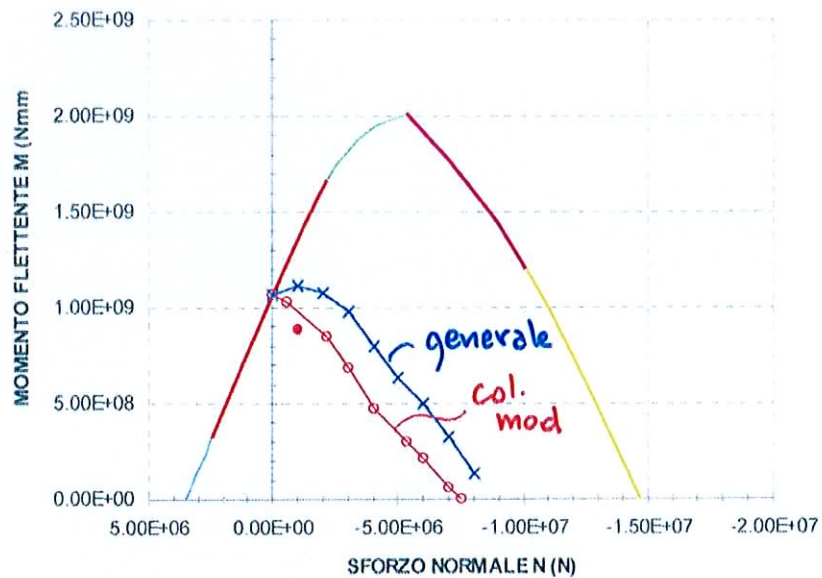
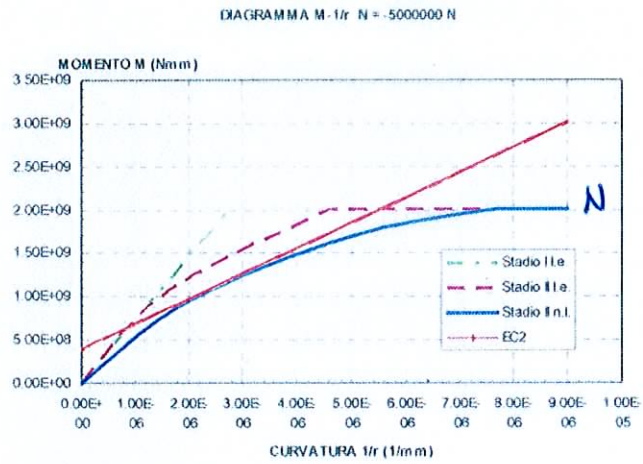
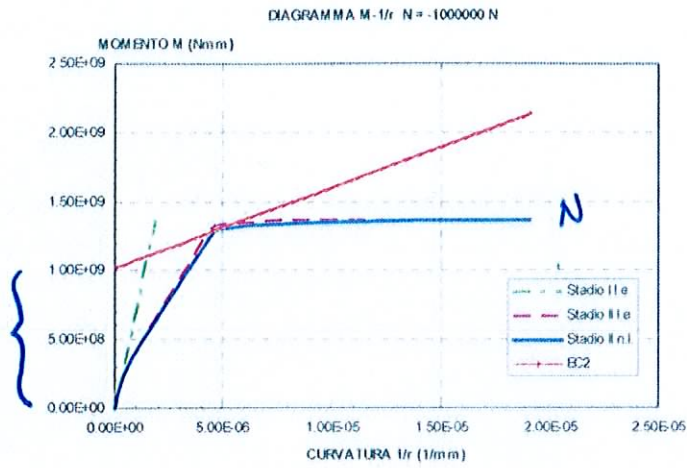


	STADIO I i.e.		STADIO II i.e.		STADIO II n.l.		EC2 (A.2.2)	
	1/r (1/mm)	M (Nmm)	1/r (1/mm)	M (Nmm)	1/r (1/mm)	M (Nmm)	1/r (1/mm)	M (Nmm)
1	0.00E+00	0.00E+00	0.00E+00	0.00E+00	0.00E+00	0.00E+00	0.00E+00	0.00E+00
2	0.00E+00	0.00E+00	0.00E+00	0.00E+00	0.00E+00	0.00E+00	0.00E+00	0.00E+00
3	0.00E+00	0.00E+00	0.00E+00	0.00E+00	0.00E+00	0.00E+00	0.00E+00	0.00E+00
4	0.00E+00	0.00E+00	0.00E+00	0.00E+00	0.00E+00	0.00E+00	0.00E+00	0.00E+00
5	1.70E-07	1.23E+08	1.64E-07	1.23E+08	1.59E-07	1.23E+08		
6	3.40E-07	2.45E+08	4.06E-07	2.45E+08	4.02E-07	2.45E+08		
7	5.09E-07	3.68E+08	8.07E-07	3.68E+08	8.13E-07	3.68E+08		
8	6.79E-07	4.91E+08	1.26E-06	4.91E+08	1.28E-06	4.91E+08		
9	8.49E-07	6.14E+08	1.73E-06	6.14E+08	1.77E-06	6.14E+08		
10	1.02E-06	7.36E+08	2.21E-06	7.36E+08	2.27E-06	7.36E+08		
11	1.19E-06	8.59E+08	2.68E-06	8.59E+08	2.78E-06	8.59E+08		
12	1.36E-06	9.82E+08	3.16E-06	9.82E+08	3.29E-06	9.82E+08		
13	1.53E-06	1.10E+09	3.65E-06	1.10E+09	3.81E-06	1.10E+09		
14	1.70E-06	1.23E+09	4.13E-06	1.23E+09	4.34E-06	1.23E+09		
15	1.72E-06	1.25E+09	4.20E-06	1.25E+09	4.43E-06	1.25E+09		
16	1.75E-06	1.27E+09	4.28E-06	1.27E+09	4.51E-06	1.27E+09		
17	1.78E-06	1.29E+09	4.36E-06	1.29E+09	4.60E-06	1.29E+09		
18	1.81E-06	1.31E+09	4.43E-06	1.31E+09	4.92E-06	1.31E+09		
19	1.83E-06	1.32E+09	4.66E-06	1.32E+09	6.39E-06	1.32E+09		
20	1.86E-06	1.34E+09	6.01E-06	1.34E+09	8.87E-06	1.34E+09		
21	1.89E-06	1.36E+09	8.20E-06	1.36E+09	1.40E-05	1.36E+09		
22	1.89E-06	1.36E+09	1.91E-05	1.36E+09	1.91E-05	1.36E+09		

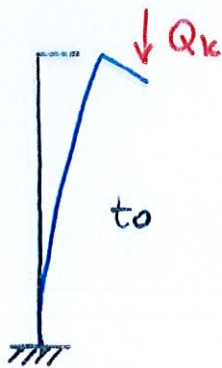
Stadio I = calcestruzzo resistente a trazione e compressione
 Stadio II = calcestruzzo resistente a sola compressione
 i.e. = calcestruzzo compresso lineare elastico
 n.l. = calcestruzzo compresso non lineare
 1/r = curvatura
 M = momento flettente

ESEMPIO : METODO GENERALE VS. COL. MODELLO

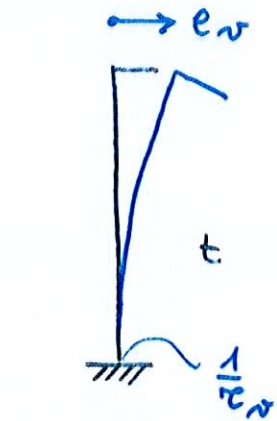
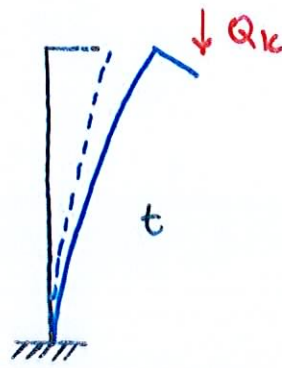
$M_{1, max}$



EFFETTO DELLA VISCOSITA'



combinazione quasi permanente

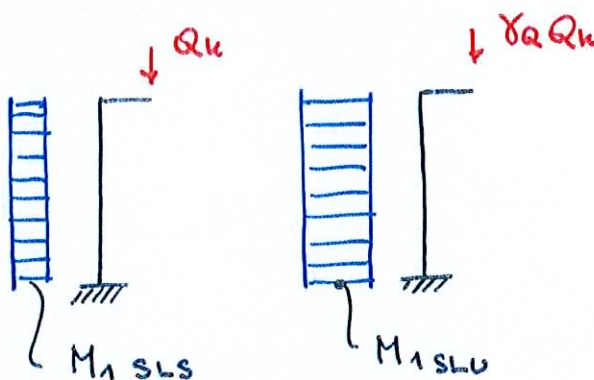


scarico



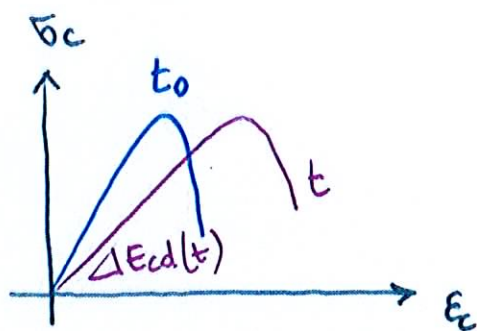
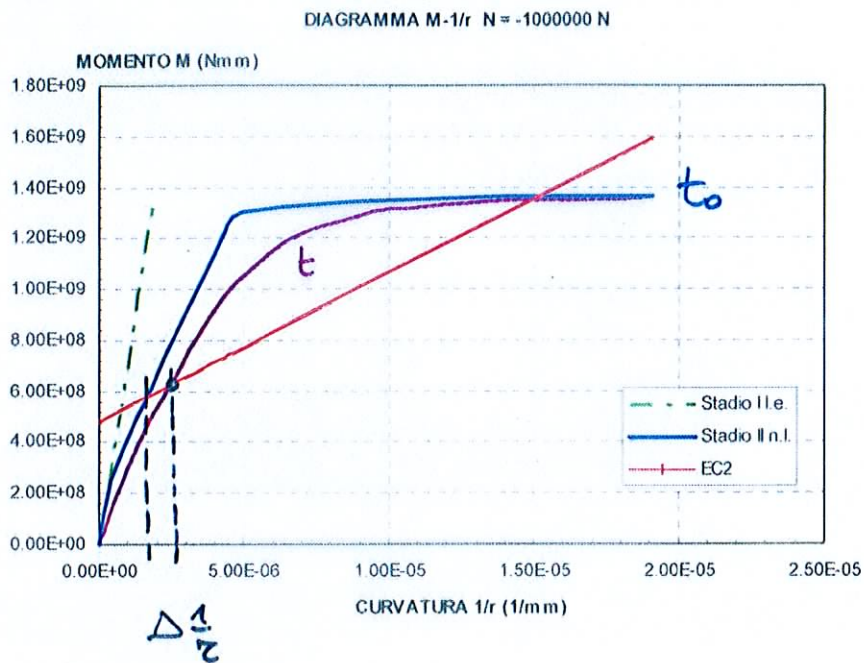
combinazione SLD

La viscosità equivale ad un'imperfezione della colonna (eccentricità e_v o curvatura $1/2v$) che ne riduce la capacità portante



$$f_{eff} = f\left(t, t_0\right) \frac{M_1 SLS}{M_1 SLD}$$

COLONNA MODELLO E VISCOSITA'



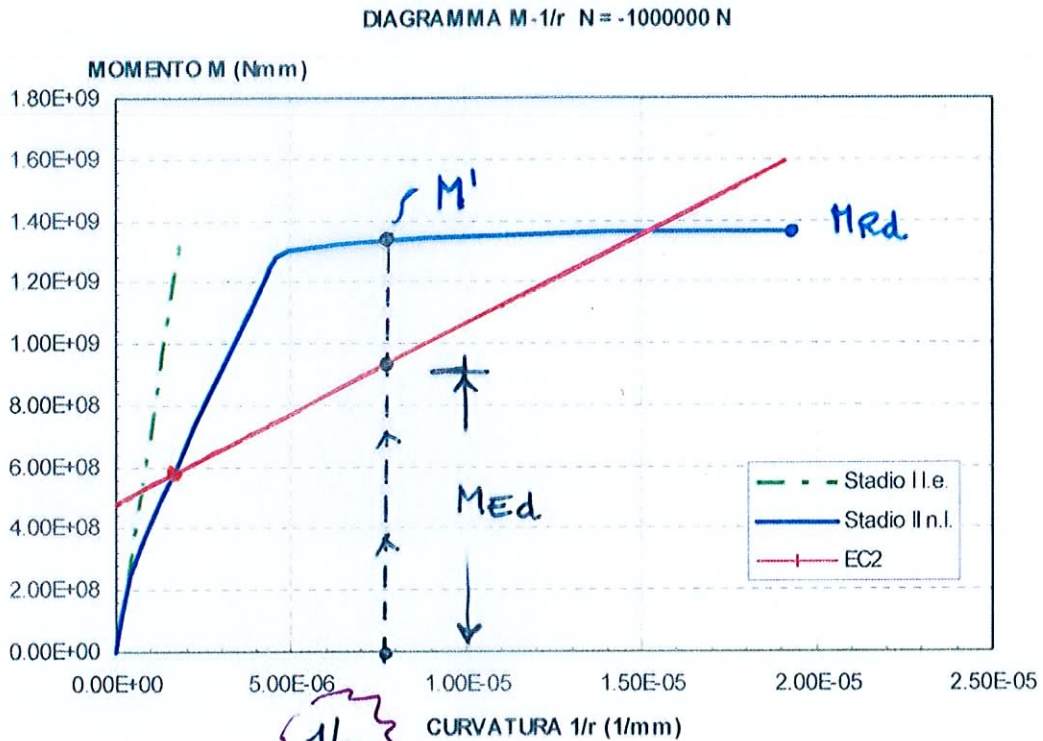
$$E_{cd}(t) = \frac{E_{cd}(t_0)}{1 + \rho_{eff}}$$

metodo effective modulus

La soluzione si ottiene per valori di curvatura più grandi

METODO CURVATURA NOMINALE

Già adottato dal British Code (1972)



- Dato $\frac{1}{2}$ calcolo M_{Ed}
- Se $M_{Ed} < M'$ le curve si sono intersecate e la verifica è soddisfatta
- Per non calcolare M' scrivo

$$M_{Ed} < M' \leq M_{Rd}$$

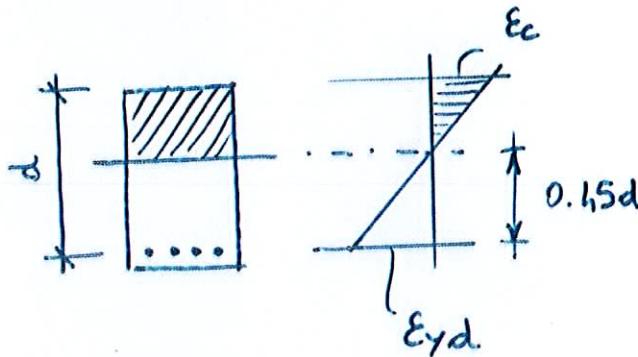
$M' \approx M_{Rd}$

$$M_{Ed} \leq M_{Rd}$$

METODO CURVATURA NOTIALE : EC2

$$\frac{1}{r} = k_r k_f \cdot \frac{1}{r_0}$$

• $\frac{1}{r_0}$

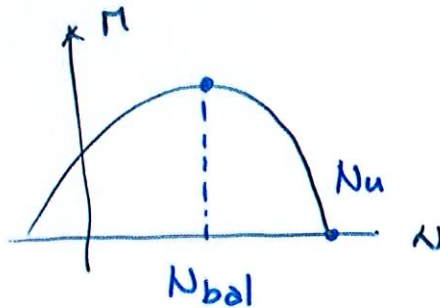


$$\frac{1}{r_0} = \frac{\epsilon_{yd}}{0.45d}$$

• k_r

considera effetto di N

$$k_r = \frac{N_u - N}{N_u - N_{bal}} \leq 1$$



• k_f

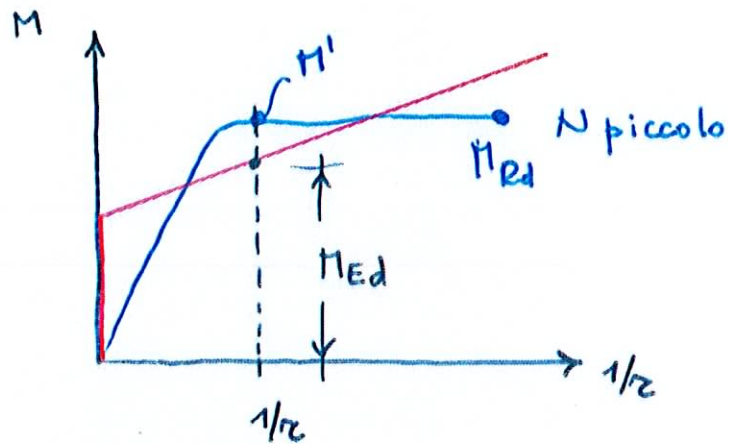
considera viscosità

$$k_f = 1 + \beta f_{eff} \geq 1$$

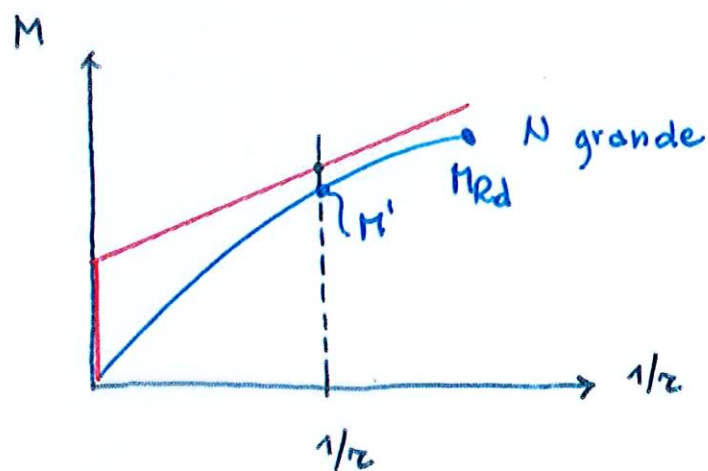
$$\beta = 0.35 + \frac{f_{ck}}{200} - \frac{\lambda}{150}$$

λ = snellezza

METODO CURVATURA NOMINALE : IMPORTANZA $\gamma/2$



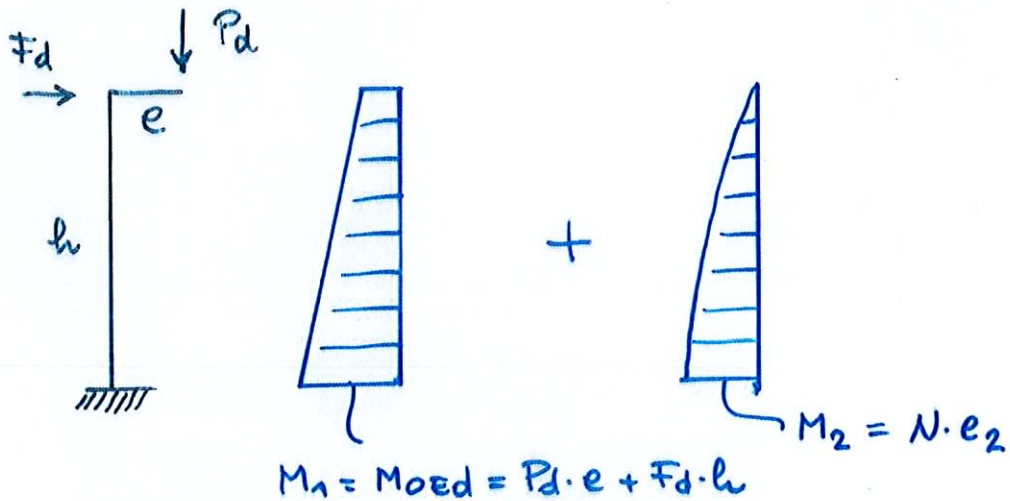
$$M_{Ed} < M'$$
$$M_{Ed} < M_{Ed}$$



$$M_{Ed} > M'$$
$$M_{Ed} < M_{Ed}$$

ma la verif.
non è
soddisfatta !!

METODO CURVATURA NOMINALE : ESEMPIO



$$M_{ed} = M_1 + M_2$$

$$M_1 = 10^6 \cdot 400 + 40 \cdot 10^3 \cdot 12 \cdot 10^3 = 8.8 \cdot 10^6 \text{ Nmm}$$

$$M_2 = N \cdot e_2 = 10^6 \cdot 390.3 = 3.903 \cdot 10^8 \text{ Nmm}$$
$$\left[\frac{1}{\pi} \cdot \frac{4}{\pi^2} \cdot l^2 = 6.689 \cdot 10^{-6} \cdot \frac{4}{\pi^2} \cdot 12000^2 = 390.3 \text{ mm} \right]$$

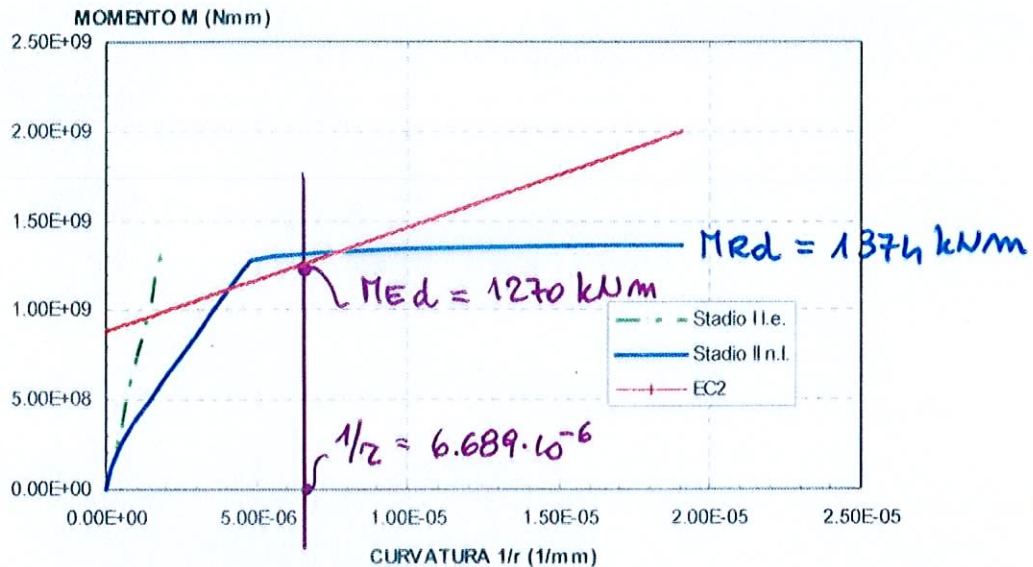
$$M_{ed} = M_1 + M_2 = 1.270 \cdot 10^7 \text{ Nmm}$$

$$M_{rd} = 1.374 \cdot 10^7 \text{ Nmm}$$

$$M_{ed} < M_{rd} \quad \rightsquigarrow \text{ verificato}$$

METODO CURVATURA NOMINALE : ESEMPIO

DIAGRAMMA M-1/r N = -1000000 N



$$\frac{1}{r_o} = \frac{f_{yd}}{E_s} \frac{1}{0.45d} = \frac{391.3}{200000} \frac{1}{0.45 \cdot 650} = 6.689 \cdot 10^{-6} \text{ 1/mm}$$

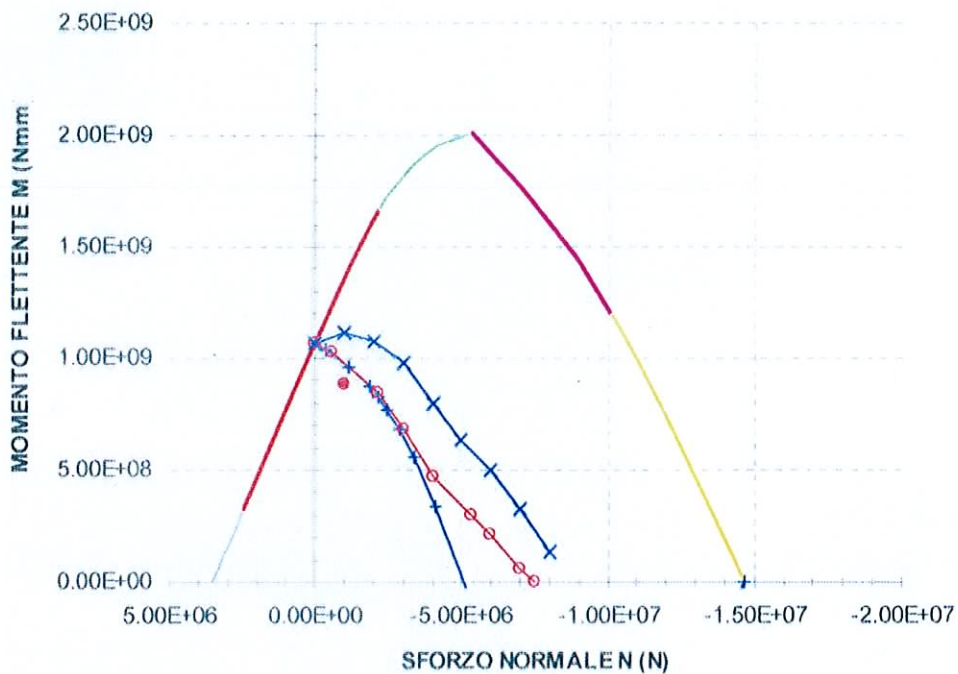
$$k_{r2} = \frac{N_u - N}{N_u - N_{bal}} = \frac{1.467 \cdot 10^7 - 10^6}{1.467 \cdot 10^7 - 5.355 \cdot 10^6} = 1.338 \leq 1 \rightarrow 1$$

$$k_f = 1 - \beta \rho_{eff} = 1 - 0.243 \cdot 2.5 = 0.39 \geq 1 \rightarrow 1$$

$$\beta = 0.35 + \frac{f_{ck}}{200} - \frac{l}{150} = 0.243$$

$$\frac{1}{r} = k_{r2} k_f \frac{1}{r_o} = 6.689 \cdot 10^{-6} \text{ 1/mm}$$

ESEMPIO : COLONNA MODELLO VS. CURV. NOMIN



Dato il dominio $M-N$ è molto semplice tracciare il dominio ridotto con il metodo della curvatura nominale

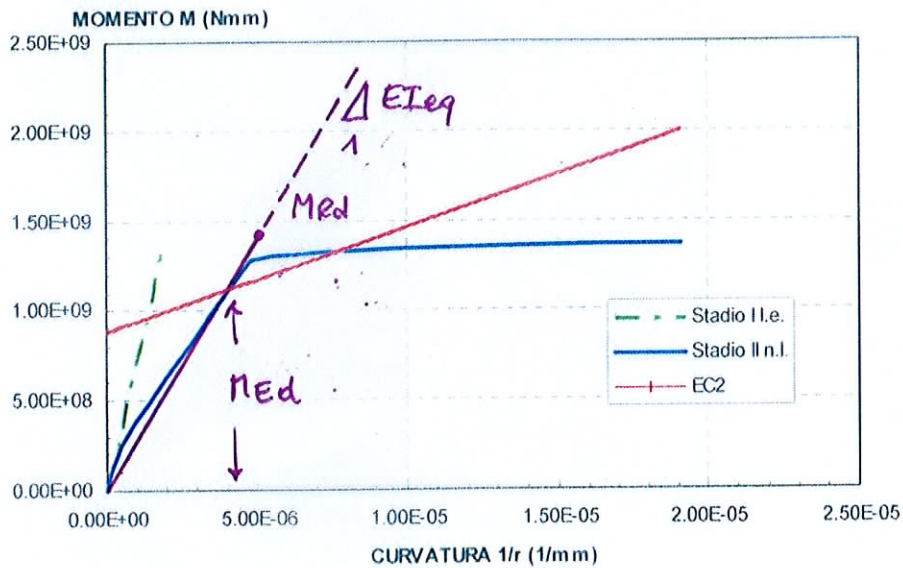
$$M_1 + M_2 \leq M_{rd} \quad \leadsto \quad M_1 \leq M_{rd} - M_2$$

METODO RIGIDEZZA EQUIVALENTE

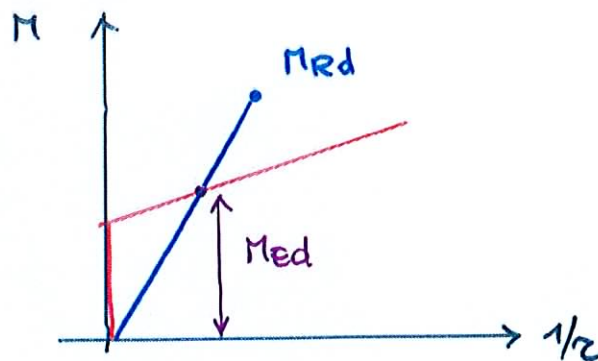
Mac Gregor, Breen, Pfrang (1970)

Adottato dalle "norme" ACI 318 e dall' EC2

DIAGRAMMA M-1/r N = -1000000 N

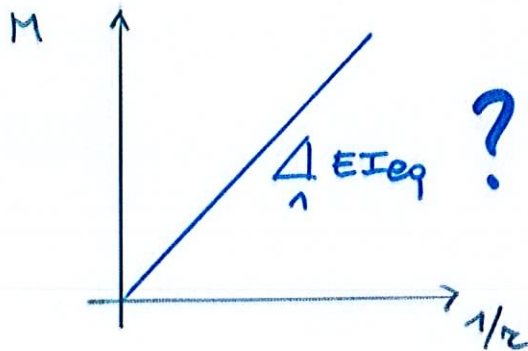


Approssimo il diagramma $M-1/r$ con una retta secante di pendenza EI_{eq}

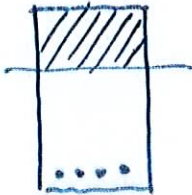


$$M_{Ed} \leq M_{Rd}$$

METODO RIGIDEZZA NOTIALE : EC2



$$EI = E_c I_c + E_s I_s$$



$$EI_{eq} = k_c E_c I_c + k_s E_s I_s$$

$$\rho = \frac{A_s}{A_c} \geq 0.002$$

$$k_s = 1$$

$$k_c = \frac{k_1 k_2}{1 + \rho_{eff}}$$

$$k_1 = \sqrt{f_{ck}/20}$$

$$k_2 = \frac{N}{A_c f_{cd}} \frac{1}{170} \leq 0.2$$

$$\rho = \frac{A_s}{A_c} > 0.01$$

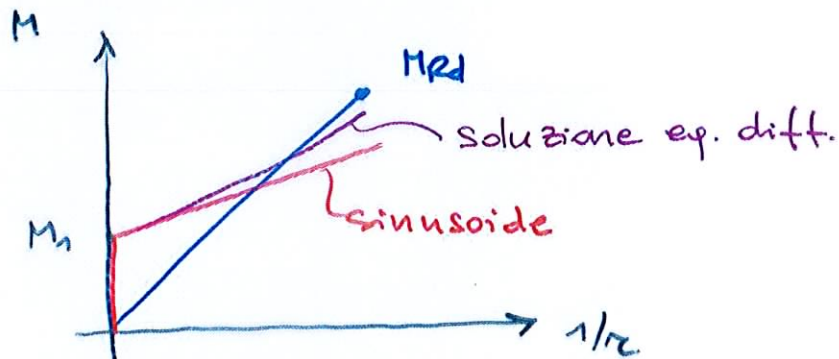
$$k_s = 0$$

$$k_c = \frac{0.3}{1 + \rho_{eff}}$$

espressione
semplificata

METODO RIGIDEZZA NOMINALE : EC2

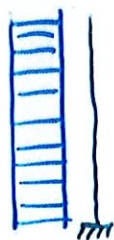
Poiché $EI = \text{cost}$ posso rinunciare all'ipotesi di deformata sinusoidale ed integrare l'eq. differenziale



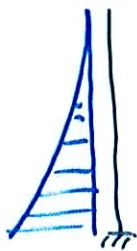
$$M_{Ed} = M_n \left(1 + \frac{\beta}{\frac{N_B}{N} - 1} \right) \quad (\text{EC2 5.28})$$

$$N_B = \frac{\pi^2 EI_{eq}}{l_0^2}$$

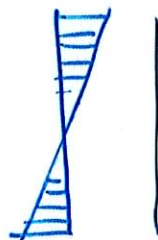
$$\beta = \frac{\pi^2}{C_0} \quad (\text{EC2 5.29})$$



$$C_0 = 8$$



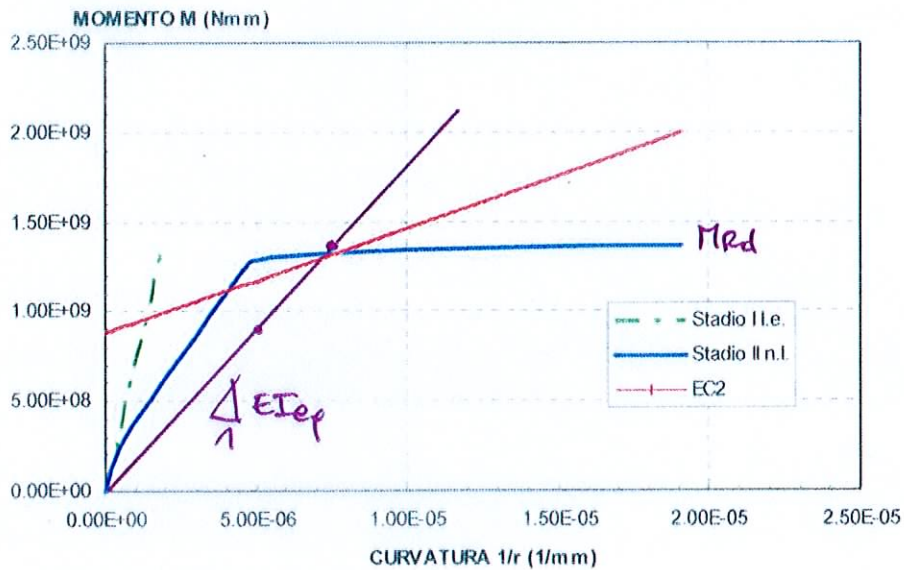
$$C_0 = 9.6$$



$$C_0 = 12$$

METODO RIGIDEZZA NOMINALE : ESEMPIO

DIAGRAMMA M-1/r N = -1000000 N



$$l_0 = 2l = 24000 \text{ mm}$$

$$i = \sqrt{\frac{I}{A}} = \sqrt{\frac{700^4 / 12}{700^2}} = 202.07 \text{ mm}$$

$$\lambda = l_0 / i = 119$$

$$\rho = A_s / A_c > 0.002$$

$$K_s = 1$$

$$K_1 = \sqrt{\frac{f_{ck}}{20}} = 1.41$$

$$K_c = \frac{K_1 K_2}{1 + \rho_{eff}}$$

METODO RIGIDEZZA NOMINALE : ESEMPIO

$$k_1 = \sqrt{\frac{f_{ck}}{20}} = 1.41$$

$$k_2 = \frac{N/A_{ctfd} \cdot \lambda}{1.70} = 0.063$$

$$k_c = \frac{k_1 k_2}{1 + \beta_{eff}} = \frac{1.41 \cdot 0.063}{1 + 2.5} = 0.0254$$

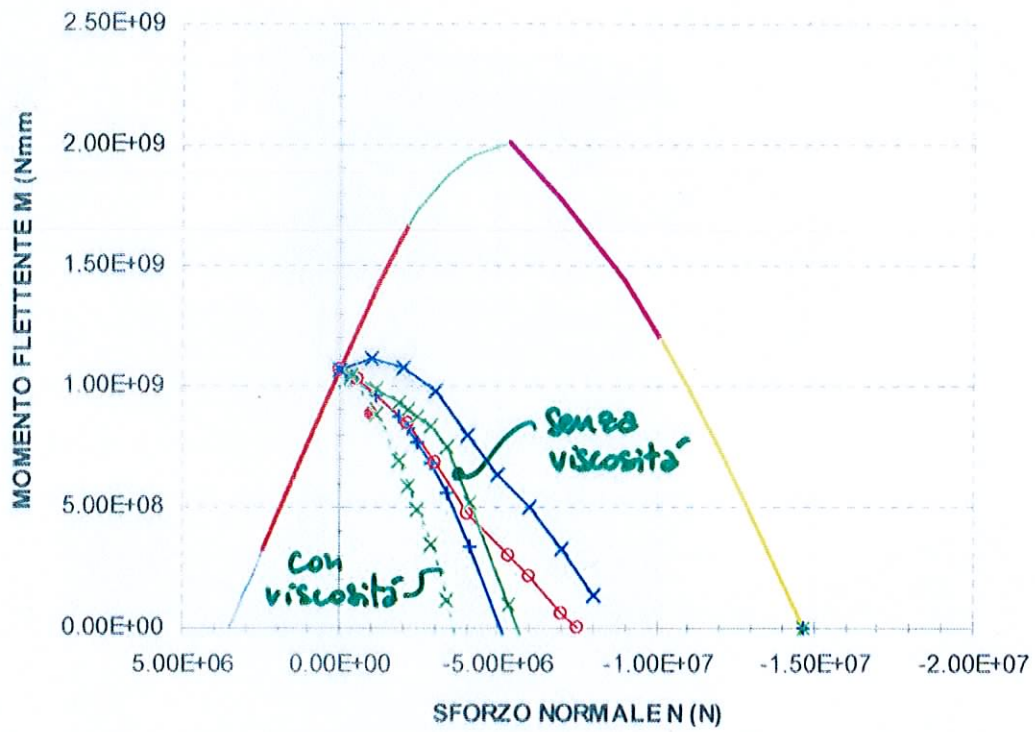
$$\begin{aligned} \bullet \quad EI_{ep} &= 0.063 \cdot 1.41 \cdot \frac{700^4}{12} \cdot 29167 + 2 \cdot 10^5 \cdot (2.4520) \cdot 300^2 = \\ &= 17.75 \cdot 10^{13} \text{ Nmm}^2 \end{aligned}$$

$$\bullet \quad N_B = \frac{\pi^2 EI_{ep}}{l_0^2} = \frac{\pi^2 \cdot 17.75 \cdot 10^{13}}{(2 \cdot 12000)^2} = 3.04 \cdot 10^6 \text{ N}$$

$$\bullet \quad N_B/N = \alpha = \frac{3.04 \cdot 10^6}{1.00 \cdot 10^6} = 3.04$$

$$\begin{aligned} \bullet \quad M_{Ed} &= M_1 \left(1 + \frac{\pi^2/C_0}{\alpha - 1} \right) \\ M_{Ed} &= P \cdot e \left(1 + \frac{\pi^2/8}{\alpha - 1} \right) + F \cdot h \left(1 + \frac{\pi^2/12}{\alpha - 1} \right) \\ M_{Ed} &= 1321 \text{ kNm} \quad M_{Rd} = 1374 \text{ kNm} \\ M_{Ed} &< M_{Rd} \rightarrow \text{verificato} \end{aligned}$$

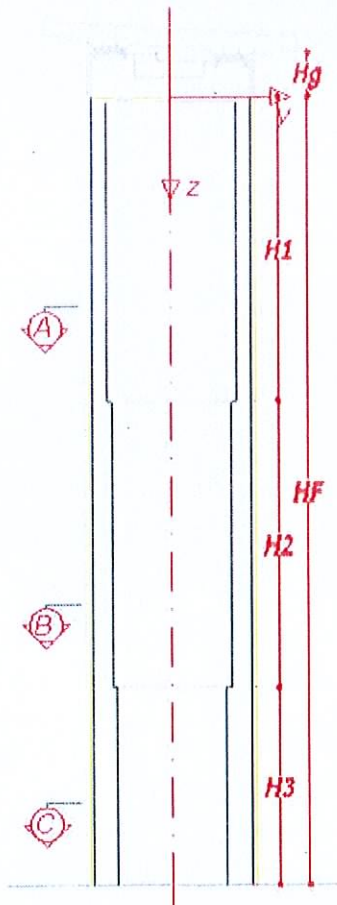
ESEMPIO : CONFRONTO TRA I 2 METODI



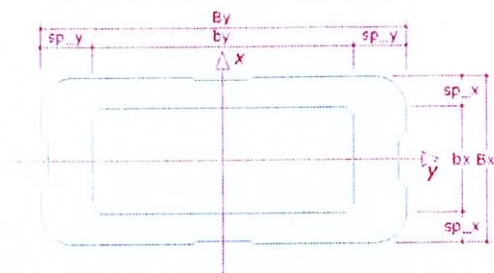
COLONNE CON SEZIONE VARIABILE

Se la sezione è variabile il collasso non è detto che avvenga alla base della colonna \rightarrow metodo generale

Sezione trasversale della pila

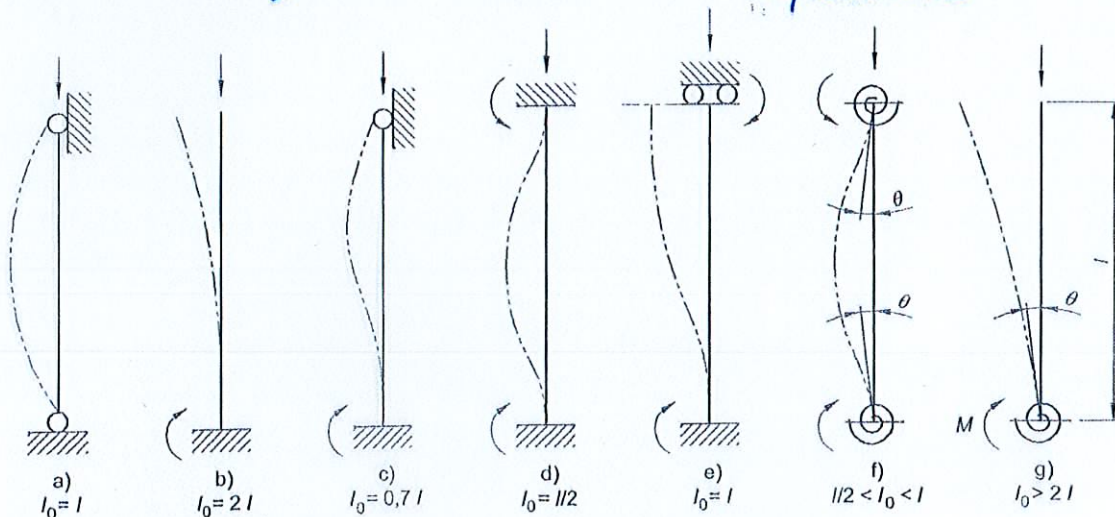


Sezione generica della pila



SNELLEZZA DI UNA COLONNA

l_0 = lunghezza libera d'inflessione



Telai a nodi fissi [vedere figura 5.7 (f)]:

$$l_0 = 0,5l \cdot \sqrt{\left(1 + \frac{k_1}{0,45 + k_1}\right) \cdot \left(1 + \frac{k_2}{0,45 + k_2}\right)} \quad (5.15)$$

Telai a nodi mobili [vedere figura 5.7 (g)]:

$$l_0 = l \cdot \max \left\{ \sqrt{1 + 10 \cdot \frac{k_1 \cdot k_2}{k_1 + k_2}}; \left(1 + \frac{k_1}{1 + k_1}\right) \cdot \left(1 + \frac{k_2}{1 + k_2}\right) \right\} \quad (5.16)$$

dove:

k_1, k_2 sono le flessibilità relative alla rotazione degli incastri alle estremità 1 e 2 rispettivamente;

$k = (\theta/M) \cdot (EI/l)$;

θ è la rotazione degli incastri per il momento flettente M ; vedere anche figura 5.7 (f) e (g);

EI è la rigidezza flessionale dell'elemento compresso, vedere anche il punto 5.8.3.2 (4) e (5);

$\lambda = l_0/i$ snellezza

↳ raggio d'inerzia della sezione di calcestruzzo non fessurato

SNELLEZZA LIMITE λ_{lim} (EC2)

$$\lambda \leq \lambda_{lim}$$

→ trascurare effetti
secondo ordine

$$\lambda_{lim} = 20 \frac{A B C}{\sqrt{m}}$$

$$A = \frac{1}{1 + 0.2 f_{ct}}$$

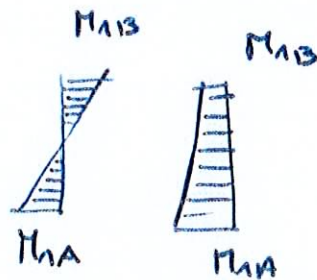
$$B = \sqrt{1 + 2\omega}$$

con $\omega = \frac{A_s f_{yd}}{A_c f_{cd}}$

$$C = 1.7 - \eta_m$$

$$\eta_m = M_{1A} / M_{1B}$$

$$m = \frac{N_{sd}}{A_c f_{cd}}$$



IMPORTANZA INTERAZIONE TERRENO - STRUTTURA





(B. Chiaia)

